



#### OFICINA ESPAÑOLA DE PATENTES Y MARCAS

**ESPAÑA** 



11 Número de publicación: 2 655 941

(51) Int. CI.:

C07K 19/00 (2006.01) A61K 38/00 (2006.01) A61P 37/06 (2006.01) C07K 14/47 (2006.01) C07K 16/18 C12P 21/02 C12N 15/09 (2006.01) C07K 14/705 (2006.01)

(12)

### TRADUCCIÓN DE PATENTE EUROPEA

T3

- 02.04.2012 PCT/JP2012/058912 (86) Fecha de presentación y número de la solicitud internacional:
- (87) Fecha y número de publicación internacional: 18.10.2012 WO12141026
- (96) Fecha de presentación y número de la solicitud europea: 02.04.2012 E 12770896 (4)
- 20.12.2017 (97) Fecha y número de publicación de la concesión europea: EP 2698386
  - (54) Título: Proteína de fusión
  - (30) Prioridad:

13.04.2011 JP 2011088762

(45) Fecha de publicación y mención en BOPI de la traducción de la patente: 22.02.2018

(73) Titular/es:

NIHON PHARMACEUTICAL CO., LTD. (100.0%) 8-1, Akashi-cho, Chuo-ku, Tokyo 104-0044, JP

(72) Inventor/es:

KOGURE, TAKAHISA; NAKAJIMA, KENJI y HOMMA, MASAYUKI

(74) Agente/Representante:

ELZABURU, S.L.P

#### **DESCRIPCIÓN**

Proteína de fusión

5

15

20

25

30

35

40

Campo técnico de la invención

La presente invención se refiere a una proteína de fusión que puede prevenir y tratar eficazmente una enfermedad autoinmunitaria de tipo autoanticuerpo tal como miastenia grave neutralizando autoanticuerpos e inhibiendo la producción de autoanticuerpos. Más particularmente, la presente invención se refiere a una proteína de fusión que tiene una potente función necesaria y suficiente para la prevención y el tratamiento y que se secreta también al exterior de las células como resultado de la expresión, al mismo tiempo que mantiene su estructura estable con lo que es capaz de hacer frente incluso a la producción industrial.

#### 10 Antecedentes de la técnica

El sistema inmunitario tiene inherentemente el papel de reconocer y eliminar un cuerpo extraño tal como una bacteria o virus que es diferente de los propios pero, a veces, reacciona excesivamente con las células y tejidos normales propios y los ataca debido a una anormalidad congénita o adquirida. Enfermedad autoinmunitaria es un nombre genérico para las enfermedades resultantes de tal estado. Entre ellas, una enfermedad causada por la reacción de autoanticuerpos (anticuerpos que reconocen células y tejidos propios como antígenos) con autoantígenos (las células y tejidos propios) se denomina "enfermedad autoinmunitaria de tipo autoanticuerpo". Los ejemplos de enfermedad autoinmunitaria de tipo autoanticuerpo incluyen miastenia grave, anemia hemolítica de tipo autoinmunitario, púrpura trombocitopénica idiopática, neutropenia de tipo autoinmunitario, hipertiroidismo o enfermedad de Hashimoto causada por anticuerpo anti-TSH, encefalitis aguda de tipo autoanticuerpo y encefalitis marginal no herpética.

Como método de tratamiento para la enfermedad autoinmunitaria de tipo autoanticuerpo, se ha realizado frecuentemente la administración de agentes esteroideos o inmunosupresores. Sin embargo, cualquiera de esos fármacos no suprime específicamente los autoanticuerpos que son la causa fundamental de la enfermedad, sino que suprime en general la inmunorreacción en conjunto. Por lo tanto, los fármacos no tienen especificidad y los métodos no son un método de tratamiento suficientemente eficaz en términos de CDV (calidad de vida).

Con respecto a la miastenia grave, que es uno de los ejemplos representativos de las enfermedades autoinmunitarias de tipo autoanticuerpo, no hay agentes de tratamiento ya conocidos para el tratamiento fundamental de la misma tampoco, sino que simplemente se han usado principalmente los agentes esteroideos anteriores, los inmunosupresores anteriores, inhibidores de colinesterasa, terapia de intercambio de plasma, preparaciones de inmunoglobulina para inyección intravenosa y timectomía (véanse el documento no de patente 1 documento no de patente 2, documento no de patente 3 y documento no de patente 4).

Entre los anteriores, el uso de inhibidores de colinesterasa es difícil por su ajuste de dosis. También, a veces puede ser necesario inyectar sulfato de atropina por vía intravenosa o asegurar las vías aéreas teniendo en cuenta el caso de efectos secundarios. Además, cuando se administra una dosis alta durante un periodo largo, se rebaja su efecto y, en algunos casos, pueden suceder crisis colinérgicas que se consideran problemáticas. Este agente no se pretende para tratamiento terapéutico, sino que es un simple tratamiento sintomático. Fundamentalmente, se va a usar la dosis mínima mediante la que se consigue el efecto y se va a evitar una administración a largo plazo si fuera posible.

Con respecto a los agentes esteroideos, sus efectos secundarios se consideran problemáticos y el control de los efectos secundarios es muy importante. Además, una administración continuada de tales agentes durante un periodo largo es difícil y es necesario controlar junto con el uso de inmunosupresores no esteroideos tales como tacrolimús o ciclosporina. Sin embargo, como se menciona anteriormente, los agentes anteriores son simplemente para tratamiento sintomático y no son medios terapéuticos fundamentales.

Con respecto a la timectomía, aunque muestra cierto efecto, existen problemas de ansiedad en pacientes ante la operación de extirpación y también de costes. Existe otro problema, que no es aplicable a niños pequeños cuya función inmunitaria no está aún desarrollada y a pacientes que padecen enfermedad de inmunodeficiencia. Además, aunque exhibe algunos efectos, se requieren muchos años, hasta decenios, hasta que se confirma el efecto. Es inevitable realizar conjuntamente otros tratamientos sintomáticos hasta reconocer el efecto. Existe aún otro problema, que el efecto se confirmaba en solo menos de un 50 % de los pacientes.

Con respecto a la terapia de intercambio de plasma, se necesita un coste de no menos de un millón de yenes para un tratamiento. El subsidio para los gastos médicos de miastenia grave según el sistema de Combinación de procedimiento de diagnóstico es solo de aproximadamente 600.000 yenes, con lo que la carga en el sitio de asistencia médica es alta. Además, existe el problema de que la duración del efecto de la misma es tan corta como solo aproximadamente un mes.

55 Como método de tratamiento para miastenia grave, se ha confirmado en los últimos años la eficacia de las preparaciones de gammaglobulina y algunos fabricantes farmacéuticos están realizando ahora pruebas clínicas para

ellas. Sin embargo, puesto que las preparaciones de gammaglobulina son preparaciones biológicas derivadas de plasma humano, puede existir el riesgo de infección debida a virus desconocidos, etc. Además, la dosis de las preparaciones de gammaglobulina es alta (400 mg/kg, administración continuada durante 5 días) y se espera que las cargas para pacientes y sitios de asistencia médica sean considerablemente altas. Por otro lado, se ha indicado que la duración del efecto de las mismas es el mismo que la terapia de intercambio de plasma o simplemente un poco mayor.

Para resumir, el problema en el tratamiento de la miastenia grave es que, en cuanto al tratamiento que usa fármacos de bajo peso molecular, es un simple tratamiento sintomático temporal, y en cuanto a la terapia de intercambio de plasma, preparaciones de gammaglobulina y timectomía, los problemas en términos de efecto y costes permanecen todavía también.

Podría conseguirse un reconocimiento y eliminación in vitro selectivos de linfocitos B reactivos con el receptor nicotínico de acetilcolina mediante una proteína de fusión recombinante compuesta por el dominio extracelular humano de la subunidad  $\alpha$ 1 de AChR y el dominio Fc de la cadena pesada de IgG1 humana (véase el documento no de patente 5).

En vista de los problemas anteriores, los presentes inventores pensaron que se esperaría un efecto eficaz con una dosis pequeña que no cause cargas a los pacientes si pudiera prepararse en proteína recombinante un anticuerpo que reaccione solo con autoanticuerpos anti-receptor de acetilcolina, que se cree que son la causa de la miastenia grave. Entonces, los presentes inventores prepararon la proteína de fusión de la región extracelular N-terminal de la subunidad nAChRα1 con la región constante de cadena pesada de anticuerpo como sustituto del anticuerpo antiidiotípico para neutralizar los autoanticuerpos anti-receptor de acetilcolina. Puesto que esta proteína de fusión tiene la actividad de neutralizar los autoanticuerpos y también de dañar las células de producción de autoanticuerpos, se ha juzgado que es muy eficaz para miastenia grave, que es una de las enfermedades autoinmunitarias de tipo autoanticuerpo. Sin embargo, esta proteína de fusión tenía una baja cantidad de expresión y su producción industrial estaba en situación difícil (véase el documento de patente 1).

25 Documentos de la técnica anterior

Documentos de patente

5

10

Documento de patente 1: patente japonesa nº 4495776.

Documentos no de patente

Documento no de patente 1: "Trends of clinical test studies for myasthenia gravis", *Nippon Rinsho*, vol. 66, nº. 6, pág. 1155-1157.

Documento no de patente 2: "High-dose therapy by immunoglobulin", Shinkei Chiryo, vol. 25, nº 6, pág. 689-692.

Documento no de patente 3: "Guideline for the Treatment of Myasthenia gravis (MG)", Report of 1995 by the Search and Study Team for Special Diseases and Immunological Neural Diseases, Health and Welfare Ministry.

Documento no de patente 4: "Current Status of Treatment and Prognosis of Myasthenia Gravis in Japan", Memorial Lecture at the Fourth MG Forum.

Documento no de patente 5: "Selective recognition and elimination of nicotinic acetylcholine receptor-reactive B cells by a recombinant fusion protein AChR-Fc in myasthenia gravis in vitro", *Journal of Neuroimmunology* 227 (2010) 35-43.

Divulgación de la invención

45

50

40 Problema que va a resolver la invención

La presente invención se ha creado en vista del estado actual de la técnica anterior como tal y es un objeto de la presente invención proporcionar una nueva proteína de fusión que pueda suprimir específicamente autoanticuerpos, que pueda prevenir o tratar eficazmente la enfermedad autoinmunitaria de tipo autoanticuerpo y que pueda expresarse en una cantidad suficiente para la producción industrial. Es otro objeto de la presente invención proporcionar un método para fabricar la proteína de fusión.

Medios para resolver el problema

Puede esperarse el efecto de la proteína de fusión anterior en el documento de patente 1 como agente de tratamiento para miastenia grave por dos puntos, que son la inhibición de la producción de autoanticuerpos y la neutralización de los autoanticuerpo producidos. Sin embargo, en la proteína de fusión de proteína receptora con región constante de cadena pesada de anticuerpo, son problemas la pequeña cantidad de expresión que parece causada por el impedimento estérico de la estructura, la pureza de la proteína expresada, etc.

Bajo tales circunstancias, los presentes inventores han realizado diversas investigaciones para potenciar la cantidad expresada de proteína de fusión y la pureza de la proteína expresada y han señalado que, en la proteína de fusión del documento de patente 1, cada una de la proteína receptora y la región constante de cadena pesada de anticuerpo está en una estructura complicada con lo que, debido a su impedimento estérico, se da como resultado un enlace disulfuro incorrecto durante la expresión de la proteína de fusión y, como resultado, no se consiguen una pureza y cantidad expresada suficientes. Como medio para resolver lo anterior, los presentes inventores han ideado una proteína de fusión en la que se inserta un péptido ligador flexible entre la proteína receptora y la región constante de cadena pesada de anticuerpo. Por tanto, los presentes inventores pensaron que cada una de las estructuras de proteína receptora y región constante de cadena pesada de anticuerpo mantendría la estructura estable inherente mediante la inserción del péptido ligador flexible. Los presentes inventores pensaron entonces que, como resultado de la formación de una estructura estable en cada región, se promovería un efecto secretor al exterior de las células dando como resultado mucha más producción de proteína de fusión y, además, se potenciaría la estabilidad de la proteína de fusión misma, con lo que la proporción de producto descompuesto puede volverse significativamente pequeña y ser ahora posible una meiora de la pureza. En vista de lo anterior, los presentes inventores han preparado una proteína de fusión en que se inserta este péptido ligador flexible y han encontrado que, en esta proteína de fusión, se potencia en gran medida la cantidad expresada y la pureza de la proteína expresada mejora significativamente también en comparación con la proteína fusionada convencional que no tiene péptido ligador. Los presentes inventores han encontrado también que, en la proteína de fusión en que se inserta un péptido ligador flexible, se potencia significativamente el efecto neutralizante de autoanticuerpos y el efecto de supresión específica de las células productoras de autoanticuerpos es también fuerte en comparación con la proteína fusionada convencional que no tiene péptido ligador. Los presentes inventores han encontrado también que se consigue una más fuerte citotoxicidad celular cuando la región constante de cadena pesada de anticuerpo (A) está situada en el lado C-terminal que en el lado N-terminal. Los presentes inventores han conseguido la presente invención basándose en estos hallazgos.

Por tanto, de acuerdo con la presente invención, se proporciona una proteína de fusión caracterizada porque se conecta una proteína (X), que contiene un sitio reconocido por autoanticuerpos que son la causa de la enfermedad autoinmunitaria de tipo autoanticuerpo, con una proteína (A), que contiene un fragmento de la región constante de cadena pesada de anticuerpo que exhibe citotoxicidad celular dependiente de anticuerpo, y con un péptido ligador (L), consistente en uno o más aminoácidos, en la que la proteína (X), el péptido ligador (L) y la proteína (A) están conectados en este orden mediante un enlace peptídico de extremo N a extremo C, y en la que la proteína de fusión consiste en la secuencia aminoacídica de SEQ ID Nº 10 o 15.

Además, de acuerdo con la presente invención, se proporciona también un método para fabricar la proteína de fusión anterior que se caracteriza porque se inserta el ADN que codifica la proteína de fusión anterior en un vector de expresión celular y se introduce este vector en células hospedadoras para expresar la proteína de fusión. Se proporciona además una composición para la prevención y el tratamiento de una enfermedad autoinmunitaria de tipo autoanticuerpo que se caracteriza por contener la proteína de fusión anterior como ingrediente eficaz.

#### Ventajas de la invención

5

10

15

20

35

40

55

La proteína de fusión de la presente invención neutraliza los autoanticuerpos existentes en el cuerpo de un paciente que padece una enfermedad autoinmunitaria de tipo autoanticuerpo e inhibe también la producción de autoanticuerpos, con lo que puede suprimir específicamente los autoanticuerpos. Además, la proteína de fusión de la presente invención tiene una alta cantidad de expresión y pureza y puede proporcionarse como un fármaco a escala de producción real. Por consiguiente, cuando se usa la proteína de fusión de la presente invención, es ahora posible prevenir y tratar eficazmente diversas enfermedades autoinmunitarias de tipo autoanticuerpo tales como miastenia grave.

#### 45 Breve descripción de los dibujos

La Fig. 1 es un diagrama esquemático de la región para expresar una proteína de fusión  $\alpha$ 1-Fc preparada en los Ejemplos.

La Fig. 2 es un diagrama esquemático de la región para expresar una proteína de fusión  $\alpha$ 1-L-Fc preparada en los Ejemplos.

La Fig. 3 es un diagrama esquemático de la región para expresar una proteína de fusión  $\alpha$ 1-L2-Fc preparada en los Ejemplos.

La Fig. 4 es un diagrama esquemático de la región para expresar una proteína de fusión Fc-L2- $\alpha$ 1 preparada en los Ejemplos.

La Fig. 5 muestra una imagen teñida con plata (lado izquierdo) y una imagen de transferencia Western (lado derecho) después de PAGE-SDS de la proteína de fusión  $\alpha$ 1-Fc y la proteína de fusión  $\alpha$ 1-L-Fc en estado reducido purificada después de expresión transitoria.

La Fig. 6 muestra la capacidad de unión de la proteína de fusión  $\alpha$ 1-Fc y la proteína de fusión  $\alpha$ 1-L-Fc con la proteína A y  $\alpha$ -bungarotoxina.  $\bullet$  muestra el resultado de la proteína de fusión  $\alpha$ 1-Fc y  $\blacktriangle$  muestra el resultado de la proteína de fusión  $\alpha$ 1-L-Fc.

La Fig. 7 muestra la capacidad de unión de la proteína de fusión  $\alpha$ 1-Fc y la proteína de fusión  $\alpha$ 1-L-Fc con autoanticuerpos anti-subunidad nAChR $\alpha$ 1.  $\bullet$ muestra el resultado de la proteína de fusión  $\alpha$ 1-Fc y  $\blacktriangle$ muestra el resultado de la proteína de fusión  $\alpha$ 1-L-Fc.

La Fig. 8A muestra la unión de la proteína de fusión  $\alpha$ 1-Fc con células Mab35 de hibridoma. Se muestra la concentración añadida de proteína de fusión en la Fig. 8A.

La Fig. 8B muestra la unión de la proteína de fusión α1-L-Fc con células Mab35 de hibridoma. Se muestra la concentración añadida de proteína de fusión en la Fig. 8B.

La Fig. 9 muestra la actividad inhibidora de la unión de 100  $\mu$ g/ml de la proteína de fusión  $\alpha$ 1-Fc (lado izquierdo) y la actividad inhibidora de la unión de la proteína de fusión  $\alpha$ 1-L-Fc a la misma concentración (lado derecho) sobre la unión de 1  $\mu$ g/ml de autoanticuerpo mAb35 con células TE671.

La Fig. 10 muestra el efecto mejorador de la proteína de fusión  $\alpha$ 1-Fc y la proteína de fusión  $\alpha$ 1-L-Fc sobre los síntomas de tipo miastenia grave inducidos por el autoanticuerpo mAb35. La abscisa muestra el tiempo y la ordenada muestra la puntuación de síntomas de tipo miastenia grave. • muestra un grupo administrado con solución salina fisiológica, • muestra un grupo administrado con una preparación de globulina para inyección intravenosa,  $\Delta$  y  $\Delta$  muestran cada uno un grupo administrado con la proteína de fusión  $\alpha$ 1-Fc y  $\Box$  y  $\Box$  muestran cada uno un grupo administrado con la proteína de fusión  $\alpha$ 1-L-Fc.

20 Modo para llevar a cabo la invención

5

10

15

25

30

35

40

45

50

55

La proteína de fusión de la presente invención tiene una estructura en la que la proteína (X), que contiene un sitio reconocido por autoanticuerpos que son la causa de la enfermedad autoinmunitaria de tipo autoanticuerpo, está conectada con una proteína (A), que contiene un fragmento que exhibe la citotoxicidad celular dependiente de anticuerpo de la región constante de cadena pesada de anticuerpo, y con un péptido ligador (L) consistente en uno o más aminoácidos.

La proteína (X) corresponde a un autoantígeno de autoanticuerpos o una parte del mismo y desempeña un papel como señuelo de unión a autoanticuerpos como sustituto del autoantígeno de un paciente. Por tanto, cuando se administra la proteína de fusión de la presente invención a un paciente que padece una enfermedad autoinmunitaria de tipo autoanticuerpo, los autoanticuerpos en el cuerpo de paciente reconocen la parte de la proteína (X) en la proteína de fusión como autoantígeno y se unen a esta parte. Puesto que los autoanticuerpos unidos no pueden unirse ya al autoantígeno que está presente inherentemente en el cuerpo del paciente, pueden neutralizarse los autoanticuerpos mediante este método y puede suprimirse la generación de síntomas de la enfermedad autoinmunitaria por unión de los autoanticuerpos al autoantígeno del paciente. Aunque los autoanticuerpos no son un anticuerpo específico, sino que están compuestos por un grupo de diversos anticuerpos, cualquiera de los anticuerpos es común en el sentido de que tiene la función de reconocer el autoantígeno. Por consiguiente, cuando se usa la proteína de fusión de la presente invención, que actúa como señuelo de autoantígeno, una proteína de fusión puede neutralizar un grupo de diversos anticuerpos, y por tanto no hay necesidad de preparar separadamente cada proteína de fusión para cada uno de los diversos anticuerpos.

"Anticuerpo" definido aquí representa todos los anticuerpos de cada clase IgA, IgD, IgE, IgG e IgM y cada subclase de los mismos. "Región constante de anticuerpo" representa anticuerpo de cada clase o anticuerpo de cada subclase y/o una combinación de región constante de cadena pesada de anticuerpo del mismo también. No existe una limitación particular para la estructura de cadena de azúcar que se añade a la región constante de cadena pesada de anticuerpo.

La proteína de fusión de la presente invención contiene una proteína (A) que contiene un fragmento de la región constante de cadena pesada de anticuerpo, además de una proteína (X) que actúa como señuelo para autoantígeno. Esta proteína (A) desempeña también un papel de exhibición de citotoxicidad celular dependiente de anticuerpo (actividad ADCC). Los autoanticuerpos se producen por linfocitos B en la sangre. Existen anticuerpos de tipo presentación en superficie celular que tienen el mismo sitio de unión de antígeno que los autoanticuerpos sobre la superficie de linfocitos B como receptores de linfocitos B. Por consiguiente, cuando se administra la proteína de fusión de la presente invención a un paciente, una parte de la proteína de fusión se une a los autoanticuerpos del cuerpo del paciente como se menciona anteriormente, mientras que el resto se une a los anticuerpos sobre la superficie de linfocitos B (receptor de linfocitos B) que producen los autoanticuerpos. Cuando la proteína de fusión de la presente invención se une al receptor de linfocitos B, las células efectoras tales como linfocitos NK se unen a una proteína (A) en la proteína de fusión a través de un receptor Fc de las células efectoras, que exhibe citotoxicidad celular dependiente de anticuerpo (actividad ADCC), dañan la unión de linfocitos B a la proteína de fusión y suprimen la producción de autoanticuerpos. Como tal, de acuerdo con la presente invención, el resultado no es solo que los autoanticuerpos existentes en el cuerpo se neutralicen para inhibir la unión de los autoanticuerpos al

autoantígeno, sino que también los linfocitos B específicos que son una fuente de producción de autoanticuerpos pueden dañarse selectivamente. Por consiguiente, la proteína de fusión de la presente invención puede prevenir o tratar la enfermedad autoinmunitaria de tipo autoanticuerpo de dos modos, que son la inhibición de la producción de autoanticuerpos y la neutralización de los autoanticuerpos producidos.

La proteína de fusión de la presente invención incluye un péptido ligador flexible (L) consistente en uno o más aminoácidos. Como resultado de la inserción de tal péptido ligador, la estructura de cada una de la proteína receptora y la región constante de cadena pesada de anticuerpo se vuelve una estructura estable, con lo que la proteína de fusión se vuelve estable en conjunto.

La presente invención se caracteriza porque la proteína receptora (X), el péptido ligador (L) y la región constante de cadena pesada de anticuerpo (A) se secuencian en el orden (X)-(L)-(A) de extremo N a extremo C. Teóricamente, la región constante de cadena pesada de anticuerpo (A) está situada en cualquier lado del lado N-terminal y el lado C-terminal, pero los presentes inventores han encontrado que la región constante de cadena pesada de anticuerpo (A) debería estar situada en el lado C-terminal, en el que el impedimento estérico es bajo para unión a un receptor, con el fin de lograr eficazmente la citotoxicidad celular dependiente de anticuerpo (actividad ADCC) de la región constante de cadena pesada de anticuerpo (A). Se supone también que, cuando la proteína receptora (X) está situada en el extremo N, puede conseguirse también un fuerte efecto como señuelo.

20

25

30

35

40

45

50

55

60

La proteína (X) en la proteína de fusión de la presente invención corresponde a un autoantígeno, o una parte del mismo, de autoanticuerpos que son la causa de la enfermedad autoinmunitaria de tipo autoanticuerpo para prevenir o tratar en el paciente. La proteína (X) se decide dependiendo de la enfermedad autoinmunitaria para prevenir o tratar en el paciente. Por ejemplo, en el caso de prevención y tratamiento de miastenia grave, puesto que la miastenia grave es una enfermedad resultante de una causa tal como la unión de anticuerpos anti-receptor nicotínico de acetilcolina (autoanticuerpos), en la unión nervio-músculo, con un receptor nicotínico de acetilcolina (autoantígeno), que es un receptor en el lado del músculo del neurotransmisor acetilcolina con el que se inhibe la transmisión nerviosa/muscular de acetilcolina, la proteína (X) puede ser un receptor nicotínico de acetilcolina que es el autoantígeno. De forma similar, en el caso de prevención y tratamiento de anemia hemolítica de tipo autoinmunitario, la proteína (X) puede ser un marcador de superficie eritrocítica; en el caso de prevención y tratamiento de púrpura trombocitopénica idiopática, la proteína (X) puede ser un marcador de superficie de plaquetas; en el caso de prevención y tratamiento de neutropenia de tipo autoinmunitario, la proteína (X) puede ser un marcador de superficie neutrofílica; en el caso de prevención y tratamiento de hipertiroidismo o hipotiroidismo primario (enfermedad de Hashimoto) causado por anticuerpo anti-TSH, la proteína (X) puede ser TSH y en el caso de prevención o tratamiento de encefalitis y encefalopatía de tipo autoanticuerpo, la proteína (X) puede ser un receptor de NMDA, receptor de AMPA, etc.

No es necesario que la proteína (X) sea el receptor completo o el marcador completo, sino que puede ser una parte del mismo siempre que esté contenido en el mismo un sitio de reconocimiento de autoanticuerpos. Por ejemplo, en el caso de miastenia grave, el receptor nicotínico de acetilcolina anterior es una proteína pentamérica consistente en cuatro clases de subunidades y, entre ellas, el sitio de reconocimiento de los autoanticuerpos existe en la región extracelular N-terminal de isoforma 1 (una isoforma expresada solo en músculo esquelético y mostrada por la SEQ ID Nº 13) e isoforma 2 (una isoforma expresada en músculo esquelético, cerebro, corazón, riñón y pulmón y mostrada por la SEQ ID Nº 14) de una subunidad  $\alpha$ 1. Por consiguiente, en el caso de miastenia grave, la proteína (X) puede ser una subunidad  $\alpha$ 1 de receptor nicotínico de acetilcolina (nAChR $\alpha$ 1) o una parte de la misma. Para ser más específico, puede ser la isoforma 1 y/o isoforma 2 de la subunidad nAChR $\alpha$ 1 o una parte de la misma, y para ser aún más específico, puede consistir en la secuencia aminoacídica de la región extracelular N-terminal de la isoforma 1 y/o isoforma 2 de la subunidad nAChR $\alpha$ 1.

En las secuencias aminoacídicas como tales, pueden eliminarse uno o varios (tal como 1 a 20, preferiblemente 1 a 10 y más preferiblemente 1 a 7) aminoácidos, añadirse o sustituirse siempre que no se perjudique la homología de los mismos. Con respecto al intervalo de las mismas, es un ejemplo una secuencia aminoacídica que tiene un 70 % o más, preferiblemente un 80 % o más y más preferiblemente un 90 % o más de identidad de secuencia. La homología de la secuencia aminoacídica puede calcularse usando el algoritmo de cálculo de homología NCBI BLAST (National Center for Biotechnology Information Basic Local Alignment Search Tool) en condiciones tales que el valor esperado sea 0, se permita hueco, la matriz sea BLOSUM 62 y se desconecte el filtrado. Para ser más específico, la secuencia aminoacídica en la que se introducen deleción, adición y/o sustitución como tal puede prepararse fácilmente sustituyendo la correspondiente secuencia de ADN usando un kit comercialmente disponible tal como el kit de mutagénesis dirigida a sitio (fabricado por Takara Bio Inc.) o el kit de mutagénesis dirigida a sitio QuickChange (fabricado por STRATAGENE). También es posible preparar directamente la secuencia aminoacídica anterior mediante una técnica de síntesis génica artificial.

La proteína (A) en la proteína de fusión de la presente invención es una proteína que contiene un fragmento de una región constante de cadena pesada de anticuerpo y puede ser, por ejemplo, una región Fc de la cadena pesada de anticuerpo, la región constante de la cadena pesada de anticuerpo o una parte de la misma. "Anticuerpo" incluye todas las clases de IgA, IgD, IgE, IgG e IgM e incluye también todas las subclases de las mismas. "Región constante de cadena pesada de anticuerpo" es una parte que excluye la región variable de la cadena pesada de anticuerpo. Por ejemplo, cuando la clase es IgG, la región constante de la cadena pesada de anticuerpo comprende una

combinación de región CH1, región de bisagra, región CH2 y región CH3. La región constante de cadena pesada de anticuerpo puede ser también una combinación de cada clase o cada subclase anterior o una región constante de cadena pesada de la misma. Por ejemplo, cuando la clase es IgG, la región Fc de la cadena pesada de anticuerpo comprende una combinación de región de bisagra, región CH2 y región CH3. En el caso de IgG1 de anticuerpo humano, puede ejemplificarse específicamente la secuencia aminoacídica de SEQ ID Nº 11 o SEQ ID Nº 12. Tanto la SEQ ID Nº 11 como la nº 12 son secuencias de la región Fc de IgG1 de anticuerpo humano. La SEQ ID Nº 11 se dice que es un tipo encontrado abundantemente en personas asiáticas, mientras que la SEQ ID Nº 12 se dice que es un tipo encontrado abundantemente en personas europeas y americanas.

El ligador peptídico (L) en la proteína de fusión de la presente invención consiste en uno o más aminoácidos, preferiblemente 5 a 45, más preferiblemente 10 a 20, y lo más preferiblemente 16 aminoácidos. Este ligador peptídico puede contener el elemento Gly-Ser o Ser-Gly.

Los ejemplos específicos de ligador peptídico (L) incluyen que el contiene una secuencia aminoacídica representada por

la fórmula (Gly-Gly-Gly-Gly-Ser)n,

15 la fórmula Pro-(Gly-Gly-Gly-Gly-Ser)n,

la fórmula Gly-Ser(Gly-Gly-Gly-Gly-Ser)n,

la fórmula (Ser-Ser-Ser-Gly)n o

25

35

40

45

50

la fórmula (Ser-Ser-Ser-Gly)n-Ser-Pro

(en las fórmulas, n es un entero de 1 a 8).

20 Entre las anteriores, se prefieren las secuencias aminoacídicas representadas por la primera y segunda fórmulas. El número de repetición (n) en las fórmulas es preferiblemente un entero de 1 a 4 y, más preferiblemente, 3.

Aún otros ejemplos específicos de ligador peptídico (L) incluyen aquellos que tienen las siguientes secuencias aminoacídicas o que contienen secuencias aminoacídicas en las que se aplican mejoras basadas en esas secuencias.

- 30 B) Asn-Val-Asp-His-Lys-Pro-Ser-Asn-Thr-Lys-Val-Asp-Lys-Arg

Es un ejemplo específico de proteína de fusión de la presente invención una proteína consistente en la secuencia aminoacídica de SEQ ID N° 10. Esta proteína de fusión tiene una estructura en la que la proteína (X), el péptido ligador (L) y la proteína (A) están conectados en este orden mediante un enlace peptídico de extremo N a extremo C. La proteína (X) corresponde a una secuencia aminoacídica consistente en los aminoácidos en posiciones 1 a 210 de la secuencia aminoacídica de la región extracelular N-terminal de la isoforma 1 de la subunidad nAChRα1. El péptido ligador (L) corresponde a Pro-(Gly-Gly-Gly-Gly-Ser)3. La proteína (A) corresponde a la secuencia aminoacídica de SEQ ID N° 11.

La proteína de fusión de la presente invención puede fabricarse según técnicas de genomanipulación conocidas públicamente convencionales. Por tanto, por ejemplo, se amplifica si es necesario cada uno del ADN que codifica la proteína (X), el ADN que codifica el péptido ligador (L) y el ADN que codifica la proteína (A), se unen entre sí esos ADN, se inserta el ADN resultante en un vector de expresión celular y se transfecta una célula hospedadora con el vector para expresar la proteína de fusión, con lo que puede fabricarse la proteína de fusión de la presente invención. La amplificación del ADN puede realizarse, por ejemplo, mediante un método de PCR. La unión del ADN amplificado puede realizarse, por ejemplo, mediante un método de PCR de extensión por superposición. También es posible diseñar una secuencia aminoacídica de proteína de fusión para expresar de modo que se prepare directamente un gen sintético artificial. Se prefiere que el vector de expresión incluya un promotor tal como CMV o SV40 para potenciar la eficacia de expresión y una secuencia señal de secreción tal como la secuencia señal de la cadena pesada de anticuerpo o la secuencia señal de la cadena κ de anticuerpo para una fácil recuperación de la proteína de fusión expresada a partir del sobrenadante de cultivo. Se prefiere también insertar la secuencia Kozak en dirección 5' del codón de inicio de la transcripción para potenciar la cantidad de proteína expresada. En el caso de la presente proteína de fusión, la subunidad nACh $R\alpha$ 1, que es una proteína de membrana, existe en el lado Nterminal y, además, la presente proteína de membrana tiene una región extracelular en el lado N-terminal y, por consiguiente, la compatibilidad de la proteína expresada y la secuencia señal es buena, dando como resultado una

buena expresión de secreción cuando se usa una secuencia señal original de la subunidad  $nAChR\alpha1$ . En cuanto a la célula hospedadora de expresión, pueden usarse células de mamífero, levadura, células animales, células de insecto, células vegetales, células bacterianas (Escherichia coli, etc.), etc. Entre ellas, se prefieren las células animales y se prefieren particularmente células CHO, células HEK293, etc. Además, cuando se infunde una secuencia de ácido nucleico que expresa la proteína de fusión en cromosomas, es también posible la expresión como animal transgénico. La proteína de fusión expresada puede recuperarse mediante medios convencionales y puede purificarse, por ejemplo, mediante un método de columna de proteína A.

Se harán ahora ilustraciones de la composición para la prevención y el tratamiento de enfermedades autoinmunitarias de tipo autoanticuerpo caracterizada por comprender la proteína de fusión de la presente invención como ingrediente eficaz. Los ejemplos de forma de preparación específica de tal composición son inyección y absorción mucosa. En el caso de inyección, se añaden un estabilizante tal como un sacárido, poliol, albúmina o tensioactivo, un agente isotonificante tal como sal, etc. a la proteína de fusión anteriormente preparada de la presente invención, se liofiliza el producto resultante para conservación y se administra disolviendo en agua para inyecciones para el uso. Aunque no hay una limitación particular para el contenido de la proteína de fusión de la presente invención en el producto liofilizado, es de 0,01 a 200 mg/g y preferiblemente de 0,1 a 100 mg/g, por ejemplo. Aunque no hay una limitación particular para el contenido de la proteína de fusión en la inyección disuelta, es de 0,01 a 200 mg/ml y preferiblemente de 0,1 a 100 mg/ml, por ejemplo. Los ejemplos de método de administración en el caso de inyección incluyen administración intravenosa, administración intramuscular y administración subcutánea. En el caso de absorción mucosa, se pone la proteína de fusión de la presente invención en una forma de dosificación junto con, por ejemplo, excipientes y estabilizantes, para dar una preparación de absorción mucosa de liberación mantenida, y puede administrarse a través de la mucosa oral, mucosa nasal, párpado, etc. Aunque no hay una limitación particular para el contenido de la proteína de fusión de la presente invención en la absorción mucosa, es de 0,1 a 300 mg/ml y preferiblemente de 0,5 a 100 mg/ml, por ejemplo, La dosis de la composición de la presente invención varía dependiendo del efecto terapéutico pretendido, el método de administración, el periodo terapéutico, la edad, peso corporal, etc. y es habitualmente de 10 µg/kg a 50 mg/kg al día para un adulto.

#### **Ejemplos**

10

15

20

25

35

40

45

50

55

La presente invención se ilustrará ahora con más detalle a continuación por los Ejemplos, pero la presente invención no está limitada a estos Ejemplos.

30 (1) Construcción de un vector de expresión de la proteína de fusión α1-Fc (ejemplo comparativo)

Se extrajo la secuencia de la secuencia señal y la región extracelular N-terminal de la subunidad  $nAChR\alpha1$  basándose en la información de la secuencia proteica de isoforma 1 ( $n^o$  de acceso: P02708-2) de la subunidad  $\alpha1$  de receptor nicotínico de acetilcolina (nAChR) ya conocida. Se extrajo también la secuencia de la región Fc basándose en la información de la secuencia proteica ( $n^o$  de acceso P01857) de la región constante de lgG1 de anticuerpo humano. Después de eso, se diseñó una secuencia proteica de 462 residuos en la que se fusionaban ambas secuencias.

Para realizar la expresión de la proteína fusión usando células de ovario de hámster chino (células CHO), se realizó la optimización de una secuencia de ácido nucleico adecuada para células CHO y se preparó una secuencia de ácido nucleico en la que se añadieron una secuencia de reconocimiento de enzima de restricción y una secuencia Kozak al lado 5', mientras que se añadieron un codón de terminación y una secuencia de reconocimiento de enzima de restricción al lado 3' mediante una técnica sintética génica artificial (SEQ ID Nº 1).

Se trató el gen sintético artificial resultante con enzima de restricción y se insertó bajo el dominio del promotor hCMV-MIE de pEE12. 4, que era un vector de expresión para células animales, para construir un vector pEE12.4-A1Fc para secreción y expresión de la proteína de fusión  $\alpha$ 1-Fc (SEQ ID N° 2), que comprende la región extracelular N-terminal de la isoforma 1 de la subunidad nAChR $\alpha$ 1 humana y la región Fc de cadena pesada de IgG1 de anticuerpo humano. Se muestra en la Fig. 1 el esquema de la región de expresión de proteína.

(2) Construcción del vector de expresión de una proteína de fusión  $\alpha$ 1-L-Fc (ejemplo de la presente invención)

Se realizó la amplificación de ácido nucleico para la región de la subunidad nAChRα1 que contiene la secuencia Kozak de SEQ ID Nº 1 mediante el método de PCR, usando el gen sintético artificial preparado en (1) como molde; usando el cebador de SEQ ID Nº 3 y un cebador de SEQ ID Nº 4, a los que se añadieron una secuencia de ácido nucleico que codifica un ligador flexible (L) (Pro-(Gly-Gly-Gly-Gly-Ser)3) como conjunto de cebadores; y usando "KOD-Plus-Neo" (nº de catálogo: KOD-401) de Toyobo como ADN polimerasa, con lo cual se preparó una secuencia de ácido nucleico de SEQ ID Nº 5.

Por otro lado, se realizó la amplificación de ácido nucleico de la región Fc de IgG1 de anticuerpo mediante el método de PCR usando el gen sintético artificial de SEQ ID Nº 1 como molde; usando un cebador de SEQ ID Nº 6 al que se añadió una secuencia de ácido nucleico que codifica una secuencia de ligador flexible y un cebador de SEQ ID Nº 7 como conjunto de cebadores; y usando KOD-Plus-Neo de Toyobo como ADN polimerasa, con lo cual se preparó

una secuencia de ácido nucleico de SEQ ID Nº 8.

5

10

15

20

25

45

Se realizó la amplificación de ácido nucleico mediante el método de PCR de extensión por superposición usando soluciones mixtas de SEQ ID Nº 5 y SEQ ID Nº 8 como molde, usando un cebador de SEQ ID Nº 3 y un cebador de SEQ ID Nº 7 como conjunto de cebadores; y usando KOD-Plus-Neo de Toyobo como ADN polimerasa, con lo cual se preparó una secuencia de ácido nucleico de SEQ ID Nº 9.

Se trató el producto amplificado resultante de ácido nucleico con enzima de restricción y se insertó bajo el dominio del promotor hCMV-MIE de pEE12. 4, que era un vector de expresión para células animales, para construir un vector pEE12. 4-A1LFc para secreción y expresión de la proteína de fusión  $\alpha$ 1-L-Fc (SEQ ID Nº 10), en la que la región extracelular N-terminal de la isoforma 1 de la subunidad nAChR $\alpha$ 1 humana y la región Fc de cadena pesada de lgG1 de anticuerpo humano estaban conectadas por una secuencia de ligador flexible (L). Se muestra un esquema de la región de expresión de proteína en la Fig. 2.

(3) Confirmación de la expresión transitoria de la proteína de fusión  $\alpha$ 1-Fc y una proteína de fusión  $\alpha$ 1-L-Fc

Se transfectaron células HEK293 con los vectores de expresión de la proteína de fusión pEE12.4-A1Fc y pEE12.4-A1Fc preparados en (1) y (2) usando el sistema de expresión "Free Style MAX 293 Expression System" (nº de catálogo: K9000-10) de Invitrogen para expresar la proteína de fusión  $\alpha$ 1-Fc y la proteína de fusión  $\alpha$ 1-L-Fc. Se purificaron entonces usando una columna de purificación "HiTrap Protein A HP Column" (nº de catálogo: 17-0402-01) de GE Health Care, dando la proteína de fusión  $\alpha$ 1-Fc y la proteína de fusión  $\alpha$ 1-L-Fc.

Se realizó la confirmación de la expresión de cada una de las proteínas de fusión mediante tinción con plata y transferencia Western después de PAGE-SDS. Para la transferencia Western, se usó un anticuerpo de IgG antihumano marcado con HRP. Se muestra el resultado en la Fig. 5. La banda mostrada por una flecha en la Fig. 5 corresponde a la proteína de fusión. A partir de este resultado, se confirmó que, cuando se insertaba un ligador flexible (L), aumentaba significativamente la cantidad expresada de proteína de fusión.

(4) Construcción del vector de expresión de la proteína de fusión α1-L2-Fc (ejemplo de la presente invención).

Se realizó la preparación de la secuencia génica que codifica la proteína de fusión (SEQ ID Nº 18) mediante el mismo método de PCR, en el que se usó un gen sintético artificial (SEQ ID Nº 1) como molde y se sustituyeron los cebadores de SEQ ID Nº 4 y 6 de (2) por las SEQ ID Nº 16 y 17.

Se trató el producto amplificado de ácido nucleico resultante con enzima de restricción y se insertó bajo el dominio del promotor hCMV-MIE de pEEI2. 4, que era un vector de expresión para células animales, para construir un vector pEEI2.4-A1L2Fc para secreción y expresión de la proteína de fusión α1-L2-Fc, en la que la región extracelular N-terminal de la isoforma 1 de la subunidad nAChRα1 humana y la región Fc de cadena pesada de IgG1 de anticuerpo humano estaban conectadas por una secuencia ligadora flexible (L2). Se muestra el esquema de la región de expresión de proteína en la Fig. 3.

(5) Construcción del vector de expresión de la proteína Fc-L2-α1 (ejemplo comparativo)

Se preparó un vector para expresar la proteína de fusión Fc-L2- $\alpha$ 1 (SEQ ID Nº 19) en el que se fusionaban la subunidad nAChR $\alpha$ 1 de  $\alpha$ 1-L2-Fc preparada en (4) y la región constante de cadena pesada de anticuerpo en orden inverso a (4), intercalando un ligador flexible (L2).

40 Se realizó la preparación del vector mediante el método de PCR de la misma manera que en (2) y (4), usando el gen sintético artificial de SEQ ID Nº 1 como molde.

Se trató el producto amplificado de ácido nucleico resultante con enzima de restricción y se insertó bajo el dominio del promotor hCMV-MIE de pEE12. 4, que era un vector de expresión para células animales, para construir un vector pEE12.4-FcL2A1 para secreción y expresión de la proteína de fusión Fc-L2- $\alpha$ 1, en la que la región Fc de cadena pesada de IgG1 de anticuerpo humano y la región extracelular N-terminal de la isoforma 1 de la subunidad nAChR $\alpha$ 1 humana estaban conectadas por una secuencia ligadora flexible (L2). Se muestra el esquema de la región de expresión de proteína en la Fig. 4.

(6) Construcción de cepas de expresión estables de las proteínas de fusión  $\alpha$ 1-Fc,  $\alpha$ 1-L-Fc,  $\alpha$ 1-L2-Fc y Fc-L- $\alpha$ 1

Se transfirió cada uno de los vectores de expresión de proteína de fusión pEE12. 4-A1Fc, pEE12.4-A1LFc, pEE12.4-50 A1L2Fc y pEE12.4-FcL2A1 preparados en (1), (2), (4) y (5) a células CHO-K1 mediante un método de electroporación, se incubaron bajo selección con sulfoximina de metionina (MSX) y se clonaron para preparar un transformante. Se sometieron los transformantes resultantes (de aquí en adelante, cada uno de ellos se abreviará

como "célula de expresión de  $\alpha$ 1-Fc", "célula de expresión de  $\alpha$ 1-L-Fc", "célula de expresión de  $\alpha$ 1-L2-Fc" y "célula de expresión de Fc-L2- $\alpha$ 1") al siguiente experimento.

(7) Incubación de expresión de las proteínas de fusión α1-Fc, α1-L-Fc, α1-L2-Fc y Fc-L2-α1

10

15

25

40

45

50

55

Se incubó cada una de las células de expresión de  $\alpha$ 1-Fc, células de expresión de  $\alpha$ 1-L2-Fc y células de expresión de Fc-L2- $\alpha$ 1 preparadas en (6) usando 9 l de "medio CD-CHO" (nº de catálogo: 2490-025) de Invitrogen como medio incipiente para producir cada proteína. Las condiciones de incubación eran pH 7,1 a 37 °C y, durante el 5º al 9º día de incubación, se añadieron 50 ml/l/día de "CHO CD Efficient Feed B" (nº de catálogo: A1024-01) de Invitrogen y se realizó la incubación durante 10 días. Se obtuvo el líquido sobrenadante del cultivo de expresión de proteína de fusión centrifugando el cultivo a 3500XG durante 5 minutos para precipitar las células incubadas y recuperar el líquido sobrenadante de las mismas.

(8) Purificación de las proteínas de fusión α1-Fc, α1-L-Fc, α1-L2-Fc y Fc-L2-α1 y cálculo de la cantidad expresada

Para cada líquido sobrenadante del cultivo de expresión de proteína de fusión obtenido en (7), se cargó una solución después de tratamiento de filtrado con un filtro de 0,45 μm en "Mab select SuRe" (nº de catálogo: 11-0026-01) de GE Healthcare, se lavó con 10 volúmenes de columna de PBS, se eluyó con 2,5 volúmenes de columna de tampón de ácido cítrico 20 mM (pH= 3,0) y se neutralizó inmediatamente el eluido con Tris-HCl 1 M (pH= 9,0) a una cantidad de 1/10 del eluido para purificar la proteína de fusión. Se concentró el eluido resultante usando "Amicon Ultra-1S, Ultracel-50K" (nº de catálogo: UFC905024) de Japan Millipore, se realizó la sustitución por PBS y se realizó un tratamiento de filtrado usando una membrana de filtro aséptica de 0,22 μm, seguido de someter al siguiente experimento.

20 Se midió la absorbancia a 280 nm (DO280) de la fracción de eluido resultante y se calculó la cantidad expresada de proteína de fusión por 1 l de líquido incubado para cada cepa de expresión usando el coeficiente de absorción (α1-Fc: 0,57 mg/ml/DO280, α1-L-Fc: 0,59 mg/ml/DO280, α1-L2-Fc: 0,59 mg/ml/DO280, Fc-L2-α1: 0,59 mg/ml/DO280) de cada proteína de fusión, la cantidad de eluido y la cantidad de líquido incubada.

El resultado fue que la cantidad expresada de proteína de fusión era de 72 mg/l para células de expresión de  $\alpha$ 1-Fc, 1587 mg/l para células de expresión de  $\alpha$ 1-L-Fc, 1249 mg/l para células de expresión de  $\alpha$ 1-L2-Fc y 356 mg/l para células de expresión de Fc-L2- $\alpha$ 1, y se confirmó que la cantidad expresada se potenciaba significativamente mediante la inserción de un péptido ligador flexible en el sitio de unión de la proteína de fusión. Entre ellas, una cepa de expresión de proteína de fusión que usa Pro-(Gly-Gly-Gly-Gly-Ser)3 como ligador peptídico flexible era excelente.

(9) Confirmación de la capacidad de unión de la proteína de fusión  $\alpha$ 1-Fc y la proteína de fusión  $\alpha$ 1-L-Fc con  $\alpha$ -BTX

30 Con respecto a la proteína de fusión α1-Fc y la proteína de fusión α1-L-Fc obtenidas en (8), se confirmó la capacidad de unión de las mismas a α-bungarotoxina (de aquí en adelante, se abreviará como "α-BTX") y a proteína A con un método ELISA. La α-BTX es una sustancia que tiene la acción de inhibir la neurotransmisión al unirse al dominio α1. Por consiguiente, como resultado de la confirmación de la capacidad de unión de la proteína de fusión con α-BTX, es ahora posible confirmar si la estructura del dominio α1 de la proteína de fusión está correctamente formada. Además, la proteína A fija la proteína de fusión a una placa a través de Fc. Por consiguiente, aunque el propósito principal de este experimento es confirmar la formación de una estructura de dominio α1 de la proteína de fusión como se menciona anteriormente, también es posible en este experimento confirmar si se retiene la estructura de la proteína de fusión como una Fc.

Se inmovilizó "proteína A" (nº de catálogo: 987015) de ICN Biochemicals a la concentración de 1 μg/ml en "C8 Maxisorp Nunc-Immuno Module" (nº de catálogo: 445101) de Nalge Nunc y se realizó entonces el bloqueo usando PBS al que se añadió 1 % de BSA, se añadieron cada una de las proteínas de fusión preparadas en (8) y sometidas a una serie de dilución de 4 veces a la misma en forma de una muestra seguida de lavado posterior, se añadió entonces "α-bungarotoxina, biotina-XX" (nº de catálogo B1196) de Invitrogen a la concentración de 1 μg/ml y finalmente se realizó la reacción con "Peroxidasa-Avidina" (nº de catálogo: 191370) de ICN Biochemicals. Para la detección, se hizo reaccionar "solución TMB" (nº de catálogo N301) de Funakoshi como sustrato y se detuvo la reacción usando solución de ácido sulfúrico al 1 %. Después de eso, se midió la absorbancia a 450 nm de longitud de onda.

Se muestra el resultado en la Fig. 6. Para cualquiera de las proteínas de fusión, se señaló reacción dependiente de la concentración. A partir de este resultado, se confirmó que cada proteína de fusión se une a  $\alpha$ -BTX y también se une a proteína A. Por tanto, se confirmó que tanto la proteína de fusión  $\alpha$ 1-Fc como la proteína de fusión  $\alpha$ 1-L-Fc retenían la región extracelular de la subunidad nAChR $\alpha$ 1 y la estructura como Fc. Incidentalmente, cuando se compararon ambas proteínas de fusión, la curva de unión a  $\alpha$ -BTX estaba significativamente desplazada al lado de menor concentración en la proteína de fusión  $\alpha$ 1-L-Fc, con lo que se juzgó que, cuando se inserta el péptido ligador flexible, se potencia la capacidad de unión por concentración de proteína en una medida de aproximadamente 100 veces o más. Este resultado sugiere que, cuando se inserta péptido ligador flexible, aumenta la estabilidad estructural de la proteína de fusión pretendida y la pureza se vuelve alta.

(10) Confirmación de la capacidad de unión de la proteína de fusión  $\alpha$ 1-Fc y la proteína de fusión  $\alpha$ 1-L-Fc al autoanticuerpo anti-nAChR

Se incubó Mab35 (TIB-175) (de aquí en adelante se abreviará como "células Mab35"), que es un hibridoma de producción de autoanticuerpo anti-nAChR de rata (subunidad  $\alpha$ 1) obtenido de la ATCC en "Hybridoma-SFM" (nº de catálogo: 12045-01) de Invitrogen y se trató el líquido sobrenadante del cultivo con "HiTrap Protein G HP Column" (nº de catálogo: 17-0405-01) de GE Healthcare, con lo cual se obtuvo un anticuerpo monoclonal (de aquí en adelante, se abreviará como "mAb35"), que es un autoanticuerpo anti-nAChR.

5

10

15

20

35

50

Se inmovilizó el mAb35 resultante a la concentración de 1  $\mu$ g/ml en C8 Maxisorp Nunc-Immunomodule de Nalge Nunc y se bloqueó usando PBS al que se añadió 1 % de BSA. Después de eso, se añadieron la proteína de fusión  $\alpha$ 1-Fc y la proteína de fusión  $\alpha$ 1-L-Fc preparadas en (8) y sometidas a una serie de dilución de 4 veces y, finalmente, se realizó la reacción usando anticuerpo anti-Fc de IgG humana marcado con HRP. Para la detección, se hizo reaccionar "solución TMB" de Funakoshi como sustrato y se detuvo la reacción usando solución de ácido sulfúrico al 1 %. Después de eso, se midió la absorbancia a 450 nm de longitud de onda.

Se muestra el resultado en la Fig. 7. Tanto la proteína de fusión  $\alpha$ 1-Fc como la proteína de fusión  $\alpha$ 1-L-Fc mostraban una reacción dependiente de la concentración. Cuando se compararon ambas, la curva de unión a autoanticuerpo estaba significativamente desplazada al lado de menor concentración en la proteína de fusión  $\alpha$ 1-L-Fc, con lo que se juzgó que, cuando se inserta un péptido ligador flexible, se potencia la capacidad de unión (actividad específica) por concentración de proteína en una medida de aproximadamente 100 veces o más. Este resultado sugiere que, cuando se inserta internamente un péptido ligador flexible, no solo aumenta la cantidad expresada de la proteína de fusión pretendida, sino también la estabilidad estructural de la misma y se potencia significativamente la reactividad con autoanticuerpo.

(11) Confirmación de la capacidad de unión de la proteína de fusión  $\alpha$ 1-Fc y la proteína de fusión  $\alpha$ 1-L-Fc con células de producción de autoanticuerpo

En un cuerpo vivo, los autoanticuerpos se producen en linfocitos B. Sobre la membrana celular de la superficie celular de los linfocitos B de producción de autoanticuerpos, se presentan los mismos anticuerpos que los autoanticuerpos como receptor de linfocitos B. Por tanto, sobre la membrana celular del hibridoma Mab35 usado en (10), es probable que el hibridoma Mab35 presente también el anticuerpo mAb35 igual que en el caso de los linfocitos B.

Se hicieron reaccionar ahora 2 x 10<sup>5</sup> células Mab35 lavadas con HBSS/BSA con cada una de la proteína de fusión α1-Fc y la proteína de fusión α1-L-Fc preparadas en (8) diluidas 10 veces en un intervalo de 10 ng/ml a 1 mg/ml como muestras. Después de eso, se añadió anticuerpo anti-lgG humana marcado con PE como reactivo de detección y se realizó la detección usando "Cytomice FC500" de Beckman-Coulter.

Se muestra el resultado en la Fig. 8A y la Fig. 8B. Cada una de las proteínas de fusión se desplazaba al lado derecho de manera dependiente de la concentración, con lo que se confirmó que cada una de las proteínas de fusión se une a células Mab35 de manera dependiente de la concentración. Puesto que la proteína de fusión  $\alpha$ 1-L-Fc estaba mucho más desplazada, se confirmó que, cuando se inserta un péptido ligador flexible, se potencia la capacidad de unión a células de producción de autoanticuerpo en una medida de aproximadamente 100 veces o más

(12) Confirmación de la acción de la proteína de fusión  $\alpha$ 1-Fc y la proteína de fusión  $\alpha$ 1-L-Fc como señuelo

40 La subunidad nAChRα1, similar a la de células de músculo humano, está presente en las células de neuroblastoma humano (TE-671) (de aquí en adelante, se abreviará como "células TE671") obtenidas de la ATCC. Por lo tanto, se confirmó la actividad inhibidora de unión de la proteína de fusión α1-Fc y la proteína de fusión α1-L-Fc preparadas en (8) en la unión del autoanticuerpo mAb35 a células TE671.

Se añadieron 100 µg/ml de la proteína de fusión  $\alpha$ 1-Fc o la proteína de fusión  $\alpha$ 1-L-Fc a 2 X 10 $^5$  células TE671 lavadas con HBSS/BSA. Como control, se añadió HBSS/BSA que no contenía proteína de fusión. Después, se añadió adicionalmente 1 µg/ml de anticuerpo mAb35 al mismo, se añadió anticuerpo de IgG de rata marcado con PE como reactivo de detección y se realizó la detección usando "Cytomics FC 500".

Se muestra el resultado en la Fig. 9. Cuando se usó la proteína de fusión  $\alpha$ 1-Fc, se señaló solo cierto efecto inhibidor a la concentración de 100  $\mu$ g/ml mientras que, cuando se usó la proteína de fusión  $\alpha$ 1-L-Fc, se señaló suficiente efecto inhibidor a la concentración de 100  $\mu$ g/ml. A partir de este resultado, se confirmó una potenciación significativa de la actividad inhibidora por inserción interna del péptido ligador flexible.

(13) Confirmación de la actividad de ADCC de la proteína de fusión  $\alpha$ 1-Fc, la proteína de fusión  $\alpha$ 1-L-Fc y la proteína de fusión Fc-L2- $\alpha$ 1

Se lavaron células Mab35 (2 x 10<sup>5</sup> células) con HBSS/BSA y se incubaron a 37 °C durante 30 minutos en

HBSS/BSA al que se añadió el tinte fluorescente "Calceína-AM" (nº de catálogo: C326) de Dojinsha para hacer una concentración 10 µM, con lo que se incorporaba Calceína-AM a las células. Después de eso, se diseminaron las células Mab35 en una placa de 96 pocillos para dar 10.000 células por pocillo y entonces se añadieron a los mismos la proteína de fusión α1-L-Fc preparada en (8) o un anticuerpo de control (Avastin o Enbrel) y linfocitos citolíticos naturales humanos NK92 (CRL-2407) obtenidos de la ATCC (de aquí en adelante, se abreviarán como "linfocitos NK92") a diversas concentraciones, seguido de incubación a 37 °C durante 4 horas. Después de la incubación, se realizó la separación por centrifugación a 300 x G durante 5 minutos para precipitar las células y se midió la fluorescencia de cada líguido sobrenadante (Ex= 485 nm, Em= 540 nm). Como resultado, aunque se señaló una citotoxicidad celular muy débil (citólisis natural) de manera dependiente de los números de linfocitos NK92, incluso en un grupo en el que solo se añadieron linfocitos NK92 (sin anticuerpo, etc. añadidos), se señaló una fuerte citotoxicidad celular de aproximadamente un 73 % como máximo en el grupo en el que se administró la proteína de fusión α1-L-Fc, y se señaló una fuerte citotoxicidad celular en un grupo en el que se añadió una cantidad de 25 veces de linfocitos NK92 (es decir, las células efectoras (E)) a las células Mab35 (es decir, las células diana (T)) (datos no mostrados). A partir del resultado de los experimentos preliminares anteriores, se comparó la citotoxicidad celular entre la proteína de fusión  $\alpha$ 1-Fc, la proteína de fusión  $\alpha$ 1-L-Fc y la proteína de fusión Fc-L2- $\alpha$ 1 en condiciones en las que la relación de E/T era de 25.

Como resultado, se señalaron valores de citotoxicidad de 51,8 %, 73,2 % y 32,9 % en la proteína de fusión  $\alpha$ 1-Fc, en la proteína de fusión  $\alpha$ 1-L-Fc y en la proteína de fusión Fc-L2- $\alpha$ 1, respectivamente. Por otro lado, se señalaron valores de citotoxicidad celular de 17,9 %, 12,5 % y 6,9 % en un grupo en el que no se añadió anticuerpo, en un grupo añadido con Avastin y en un grupo añadido con Enbrel, respectivamente.

A partir de estos resultados, se confirmó que se exhibía la mayor citotoxicidad cuando la región constante de cadena pesada de anticuerpo no estaba situada en el lado N-terminal, sino que se situaba en el lado C-terminal. Se confirmó también que la citotoxicidad celular se potenciaba adicionalmente por la inserción interna de un péptido ligador flexible incluso en el caso en el que la región constante de cadena pesada de anticuerpo estuviera situada en el lado C-terminal.

#### (14) Confirmación de la prueba in vivo de miastenia grave

5

10

15

20

25

30

35

40

45

50

55

Para el experimento, se prepararon 36 ratas Lewis hembra de 11 semanas de edad (Nippon LSC). Como modelo animal para miastenia grave, se usó un modelo de inducción de autoanticuerpo en rata. Se administró por vía intraperitoneal mAb35, que es un autoanticuerpo de nAChR de rata producido por el hibridoma Mab35, a todas las ratas a una dosis de 1,25 mg/kg, con lo cual se indujo un estado mórbido. Se administró por vía intravenosa cada una de las siguientes sustancias después de 4, 12, 24 y 32 horas desde la administración de mAb35. Se administró a un grupo de control 1 ml de PBS cada vez (grupo de control, 6 ratas). Se administró  $\alpha$ 1-L-Fc preparada en (8) a la dosis de 2,5 mg/rata ( $\alpha$ 1-L-Fc 10, 6 ratas) cada vez. De forma similar, se administró  $\alpha$ 1-Fc preparada en (8) a la dosis de 2,5 mg/rata ( $\alpha$ 1-Fc 2,5, 6 ratas) o 10 mg/rata ( $\alpha$ 1-Fc 10, 6 ratas) cada vez. Además, se administró Venoglobulin IH al 5 % donada para inyección intravenosa (fabricado por Tanabe Mitsubishi), que era una preparación de inmunoglobulina humana para inyección intravenosa, a la dosis de 80 mg/rata (IVIG, 6 ratas) cada vez.

Durante el periodo de hasta 96 horas después de la inducción del estado mórbido, se evaluó la puntuación de síntomas musculares (puntuación MG). La puntuación de síntomas musculares es como sigue: 0 puntos para ninguna anormalidad, 1 punto para rebaja del agarre de los miembros delanteros; 2 puntos para desaparición del agarre de los miembros delanteros, 3 puntos para rebaja de la fuerza muscular de los miembros traseros y trastorno de la marcha, además de desaparición del agarre de los miembros delanteros, y 4 puntos por parálisis de los miembros traseros además de desaparición del agarre de los miembros delanteros. Se realizó el análisis estadístico de la puntuación de síntomas musculares de tal manera que se hizo la comparación del control con cada grupo administrado con sustancia por la prueba de Steel (SAS Preclinical Package Versión 5.00.010720, versión de Windows (marca comercial registrada), SAS System Release 8.02 TS Level 02MO (SAS Institute Japan)). Se da el resultado en términos de (valor medio) ± (error estándar) y un valor de significación de menos del 5 % (\*) se juzgó como una diferencia significativa.

Se muestra el resultado en la Tabla 1 y la Fig. 10. La Fig. 10 muestra el efecto de  $\alpha$ 1-L-Fc y  $\alpha$ 1-Fc en el modelo de miastenia grave en rata inducido por mAb35. Como se muestra en la Fig. 10, se observó un cambio tal en el grupo de control que la puntuación de síntomas musculares aumentó desde 24 horas después de la inducción del estado mórbido, se volvió máxima después de 56 horas y disminuyó después de ello. Tal tendencia mostró que  $\alpha$ 1-L-Fc y  $\alpha$ 1-Fc suprimían el aumento de la puntuación de los síntomas musculares y que la supresión como tal es dependiente de la dosis. La Tabla 1 muestra una puntuación media después de 56 horas desde la inducción del estado mórbido en la que la puntuación de síntomas musculares del grupo de control se volvía máxima. Se mostró que cualquiera de  $\alpha$ 1-L-Fc y  $\alpha$ 1-Fc suprimía significativamente los síntomas musculares mediante la administración de 10 mg/rata cada vez.

Tabla 1: Puntuación de síntomas musculares después de 56 horas desde la inducción del estado mórbido

	Puntuación de síntomas musculares
Control	2,3 ± 0,6
α1-L-Fc 2,5	0,6 ± 0,3
α1-L-Fc 10	0,3 ± 0,2*
α1-Fc 2,5	1,1 ± 0,4
α1-Fc 10	0,3 ± 0,2*
IVIG	0,9 ± 0,2

En los ejemplos anteriores, se confirmó el efecto para los casos en los que se usaba un péptido ligador que tiene un número de repetición de 3 (ligador flexible (L) (Pro-(Gly-Gly-Gly-Gly-Gly-Ser)3) o ligador flexible (L2) ((Gly-Gly-Gly-Gly-Gly-Ser)3)). A partir de esos resultados, los especialistas en la materia pueden predecir fácilmente que incluso los casos en los que el número de repetición (n) del péptido ligador es un entero de 1 a 8 o, particularmente, un entero de 1 a 4, conseguirán el mismo efecto excelente que los casos en los que el número de repetición (n) del péptido ligador es 3. Esto es debido a que la longitud del péptido ligador se dice que es habitualmente de aproximadamente 5 residuos (en otras palabras, el número de repetición (n) en la unidad constitutiva anterior es 1) a aproximadamente 20 residuos (en otras palabras, el número de repetición (n) en la unidad constitutiva anterior es 4).

#### Aplicabilidad industrial

De acuerdo con la presente invención, la proteína de fusión, que puede prevenir o tratar la enfermedad autoinmunitaria de tipo autoanticuerpo de dos modos (concretamente, inhibición de la producción de anticuerpos y neutralización de los autoanticuerpos producidos), puede proporcionarse como un fármaco a una escala de producción real. Por lo tanto, la proteína de fusión de la presente invención puede usarse ampliamente para prevenir y tratar eficazmente diversas enfermedades autoinmunitarias de tipo autoanticuerpo tales como miastenia grave.

Texto libre del listado de secuencias

Las SEQ ID Nº 3, 4, 6, 7, 16 y 17 son las secuencias de los cebadores.

#### Lista de secuencias

20 <110> Nihon Seiyaku Kabushiki Kaisha

<120> Proteína de fusión

<130> F-3719PT

25 <160> 19

10

15

<170> PatentIn versión 3.1

30 <210> 1

<211> 1413

<212> ADN

<213> homo sapiens

35 <400> 1

aagcttgccg	ccaccatgga	gccctggcct	ctcctcctgc	tctttagcct	ttgctcagct	60
ggcctcgtcc	tgggctccga	acatgagacc	cgtctggtgg	caaagctatt	taaagactac	120
agcagcgtgg	tgcggccagt	ggaagaccac	cgccaggtcg	tggaggtcac	cgtgggcctg	180
cagctgatac	agctcatcaa	tgtggatgaa	gtaaatcaga	tcgtgacaac	caatgtgcgt	240
ctgaaacagc	aatgggtgga	ttacaaccta	aaatggaatc	cagatgacta	tggcggtgtg	300
aaaaaaattc	acattccttc	agaaaagatc	tggcgcccag	accttgttct	ctataacaat	360
gcagatggtg	actttgctat	tgtcaagttc	accaaagtgc	tcctgcagta	cactggccac	420
atcacgtgga	cacctccagc	catctttaaa	agctactgtg	agatcatcgt	cacccacttt	480
ccctttgatg	aacagaactg	cagcatgaag	ctgggcacct	ggacctacga	cggctctgtc	540
gtggccatca	acccggaaag	cgaccagcca	gacctgagca	acttcatgga	gagcggggag	600
tgggtgatca	aggagtcccg	gggctggaag	cactccgtga	cctattcctg	ctgccccgac	660
accccctacc	tggacatcac	ctaccacttc	gtcatgcagc	gcctggagcc	caaatcttgt	720
gacaaaactc	acacatgccc	accgtgccca	gcacctgaac	tcctgggggg	accgtcagtc	780
ttcctcttcc	ccccaaaacc	caaggacacc	ctcatgatct	cccggacccc	tgaggtcaca	840
tgcgtggtgg	tggacgtgag	ccacgaagac	cctgaggtca	agttcaactg	gtacgtggac	900
ggcgtggagg	tgcataatgc	caagacaaag	ccgcgggagg	agcagtacaa	cagcacgtac	960
cgtgtggtca	gcgtcctcac	cgtcctgcac	caggactggc	tgaatggcaa	ggagtacaag	1020
tgcaaggtct	ccaacaaagc	cctcccagcc	cccatcgaga	aaaccatctc	caaagccaaa	1080
gggcagcccc	gagaaccaca	ggtgtacacc	ctgcccccat	cccgggatga	gctgaccaag	1140
aaccaggtca	gcctgacctg	cctggtcaaa	ggcttctatc	ccagcgacat	cgccgtggag	1200
tgggagagca	atgggcagcc	ggagaacaac	tacaagacca	cgcctcccgt	gctggactcc	1260
gacggctcct	tcttcctcta	cagcaagctc	accgtggaca	agagcaggtg	gcagcagggg	1320
aacgtcttct	catgctccgt	gatgcatgag	gctctgcaca	accactacac	gcagaagagc	1380
ctctccctgt	ctccgggtaa	atgataagaa	ttc			1413

5

<210> 2

<211> 442

<212> PRT

<213> homo sapiens

10

<400> 2

Ser 1	Glu	His	Glu	Thr 5	Arg	Leu	Val	Ala	Lys 10	Leu	Phe	Lys	Asp	Tyr 15	Ser
Ser	Val	Val	Arg 20	Pro	Val	Glu	Asp	His 25	Arg	Gln	Val	Val	Glu 30	Val	Thr
Val	Gly	Leu 35	Gln	Leu	Ile	Gln	Leu 40	Ile	Asn	Val	Asp	Glu 45	Val	Asn	Gln
Ile	Val 50	Thr	Thr	Asn	Val	Arg 55	Leu	Lys	Gln	Gln	Trp 60	Val	Asp	Tyr	Asn
Leu 65	Lys	Trp	Asn	Pro	Asp 70	Asp	Tyr	Gly	Gly	Val 75	Lys	Lys	Ile	His	Ile 80
Pro	Ser	Glu	Lys	Ile 85	Trp	Arg	Pro	Asp	Leu 90	Val	Leu	Tyr	Asn	Asn 95	Ala
Asp	Gly	Asp	Phe 100	Ala	Ile	Val	Lys	Phe 105	Thr	Lys	Val	Leu	Leu 110	Gln	Tyr
Thr	Gly	His 115	Ile	Thr	Trp	Thr	Pro 120	Pro	Ala	Ile	Phe	Lys 125	Ser	Tyr	Cys
Glu	Ile 130	Ile	Val	Thr	His	Phe 135	Pro	Phe	Asp	Glu	Gln 140	Asn	Cys	Ser	Met
Lys 145	Leu	Gly	Thr	Trp	Thr 150	Tyr	Asp	Gly	Ser	Val 155	Val	Ala	Ile	Asn	Pro 160
Glu	Ser	Asp	Gln	Pro 165	Asp	Leu	Ser	Asn	Phe 170	Met	Glu	Ser	Gly	Glu 175	Trp
Val	Ile	Lys	Glu 180	Ser	Arg	Gly	Trp	<b>Lys</b> 185	His	Ser	Val	Thr	Tyr 190	Ser	Cys
Cys	Pro	Asp 195	Thr	Pro	Tyr	Leu	Asp 200	Ile	Thr	Tyr	His	Phe 205	Val	Met	Gln

Arg	Leu 210	Glu	Pro	Lys	Ser	Cys 215	Asp	Lys	Thr	His	Thr 220	Cys	Pro	Pro	Cys
Pro 225	Ala	Pro	Glu	Leu	Leu 230	Gly	Gly	Pro	Ser	Val 235	Phe	Leu	Phe	Pro	Pro 240
Lys	Pro	Lys	Asp	Thr 245	Leu	Met	Ile	Ser	Arg 250	Thr	Pro	Glu	Val	Thr 255	Cys
Val	Val	Val	Asp 260	Val	Ser	His	Glu	Asp 265	Pro	Glu	Val	Lys	Phe 270	Asn	Trp
Tyr	Val	<b>Asp</b> 275	Gly	Val	Glu	Val	His 280	Asn	Ala	Lys	Thr	Lys 285	Pro	Arg	Glu
Glu	Gln 290	Tyr	Asn	Ser	Thr	Tyr 295	Arg	Val	Val	Ser	Val 300	Leu	Thr	Val	Leu
His 305	Gln	Asp	Trp	Leu	Asn 310	Gly	Lys	Glu	Tyr	Lys 315	Cys	Lys	Val	Ser	Asn 320
Lys	Ala	Leu	Pro	Ala 325	Pro	Ile	Glu	Lys	Thr 330	Ile	Ser	Lys	Ala	Lys 335	Gly
Gln	Pro	Arg	Glu 340	Pro	Gln	Val	Tyr	Thr 345	Leu	Pro	Pro	Ser	<b>A</b> rg 350	Asp	Glu
Leu	Thr	Lys 355	Asn	Gln	Val	Ser	Leu 360	Thr	Cys	Leu	Val	Lys 365	Gly	Phe	Tyr
Pro	Ser 370	Asp	Ile	Ala	Val	Glu 375	Trp	Glu	Ser	Asn	Gly 380	Gln	Pro	Glu	Asn
<b>Asn</b> 385	Tyr	Lys	Thr	Thr	Pro 390	Pro	Val	Leu	Asp	Ser 395	Asp	Gly	Ser	Phe	Phe 400
Leu	Tyr	Ser	Lys	Leu 405	Thr	Val	Asp	Lys	Ser 410	Arg	Trp	Gln	Gln	Gly 415	Asn
Val	Phe	Ser	Cys 420	Ser	Val	Met	His	Glu 425	Ala	Leu	His	Asn	His 430	Tyr	Thr
Gln	Lys	Ser 435	Leu	Ser	Leu	Ser	Pro 440	Gly	Lys						
	-														
<400	2400> 3														
ccca	agctto	ccg	ccacc	at gg	ag	2	4								
<210 <211															

	<212> ADN <213> cebador	
_	<400> 4	
5	getettagge teegateege caeegeeaga geeaceteeg eetgaacege etecaeeggg	6
	cageegttge atgaegaagt g	8
10	<210> 5 <211> 768 <212> ADN <213> homo sapiens	
	<400> 5	
	cccaagcttg ccgccaccat ggagccatgg cccctgctcc ttcttttcag cctgtgttca	6
	gctggcctcg tgctgggcag cgagcacgaa accaggttgg tcgctaaact tttcaaagat	12
	tactcctcag tagtgaggcc tgtagaggat catcggcagg tggtggaggt cactgtggga	18
	ctccagctca tccagttgat caatgtcgat gaggtcaacc aaatcgtcac cactaatgtc	24
	cgactgaage agcagtgggt cgactacaac ctgaagtgga atcccgatga ctacggtggt	30
	gtgaaaaaaa tacatattcc cagtgagaag atctggcgtc cagatcttgt tctgtacaac	36
	aacgctgatg gagatttcgc tatcgtcaag ttcaccaaag tgctgctgca gtatacaggt	42
	catataactt ggactccccc agcaatcttt aagagttact gcgagatcat agtgacccat	48
	tttccctttg acgagcagaa ttgttccatg aagctgggca cttggaccta cgacgggtct	54
	gtcgtggcta ttaatccaga aagcgatcag cccgatcttt caaattttat ggagtccggt	60
	gagtgggtga tcaaagaatc aagggggtgg aaacattcag tgacctactc ttgctgtcct	66
	gatactecet acetegacat tacetaceae ttegteatge aaeggetgee eggtggagge	72
15	ggttcaggcg gaggtggctc tggcggtggc ggatcggagc ctaagagc	76
20	<210> 6 <211> 82 <212> ADN <213> cebador	
	<400> 6	
	caacggctgc ccggtggagg cggttcaggc ggaggtggct ctggcggtgg cggatcggag	6
25	cctaagagct gcgataaaac ac	8:
	<210> 7 <211> 21 <212> ADN <213> cebador	
30	<400> 7	
	ggaattctta tcatttacct g 21	
35	<210> 8 <211> 766 <212> ADN <213> homo sapiens	
40	<400> 8	

caacggetge	ccggtggagg	eggtteagge	ggaggtgget	erggeggrgg	eggateggag	60
cctaagagct	gcgataaaac	acacacatgc	cctccctgcc	ccgctccaga	gctgttgggc	120
ggaccaagcg	ttttcctgtt	cccaccaaag	cccaaggaca	ctttgatgat	ctctcggact	180
cctgaagtga	catgcgtcgt	ggtagatgtc	tctcatgaag	atccagaggt	gaaatttaac	240
tggtatgtag	acggcgtgga	ggtgcacaat	gccaaaacca	agcctcgaga	agaacagtac	300
aatagtacat	accgagtggt	ttctgttttg	accgtgcttc	accaggactg	gctgaacgga	360
aaggaataca	aatgcaaggt	ctcaaacaag	gcattgccag	cccccatcga	aaagacaatt	420
tctaaagcca	aaggacagcc	cagagagcct	caggtgtata	ccctcccacc	atcacgagac	480
gaactcacaa	aaaaccaggt	ttccctcacc	tgtctggtga	aggggtttta	cccatctgat	540
atcgccgtcg	aatgggagtc	taacggacag	cctgagaata	attataagac	aactccacct	600
gtcctggaca	gtgatggatc	tttctttctg	tacagtaaac	tgaccgtgga	taagtcacgc	660
tggcaacaag	gtaatgtgtt	cagctgcagc	gtcatgcacg	aggctctgca	taaccattat	720
acacagaagt	cactctctct	gtccccaggt	aaatgataag	aattcc		766
<210> 9 <211> 1465 <212> ADN <213> homo s	sapiens					
<400> 9						
cccaagcttg	ccgccaccat	ggagccatgg	cccctgctcc	ttcttttcag	cctgtgttca	60
gctggcctcg	tgctgggcag	cgagcacgaa	accaggttgg	tcgctaaact	tttcaaagat	120
tactcctcag	tagtgaggcc	tgtagaggat	catcggcagg	tggtggaggt	cactgtggga	180
ctccagctca	tccagttgat	caatgtcgat	gaggtcaacc	aaatcgtcac	cactaatgtc	240
cgactgaagc	agcagtgggt	cgactacaac	ctgaagtgga	atcccgatga	ctacggtggt	300
gtgaaaaaaa	tacatattcc	cagtgagaag	atctggcgtc	cagatcttgt	tctgtacaac	360
aacgctgatg	gagatttcgc	tatcgtcaag	ttcaccaaag	tgctgctgca	gtatacaggt	420
catataactt	ggactccccc	agcaatcttt	aagagttact	gcgagatcat	agtgacccat	480
tttccctttg	acgagcagaa	ttgttccatg	aagctgggca	cttggaccta	cgacgggtct	540

gtcgtggcta	ttaatccaga	aagcgatcag	cccgatcttt	caaattttat	ggagtccggt	600
gagtgggtga	tcaaagaatc	aagggggtgg	aaacattcag	tgacctactc	ttgctgtcct	660
gatactccct	acctcgacat	tacctaccac	ttcgtcatgc	aacggctgcc	cggtggaggc	720
ggttcaggcg	gaggtggctc	tggcggtggc	ggatcggagc	ctaagagctg	cgataaaaca	780
cacacatgcc	ctccctgccc	cgctccagag	ctgttgggcg	gaccaagcgt	tttcctgttc	840
ccaccaaagc	ccaaggacac	tttgatgatc	tctcggactc	ctgaagtgac	atgcgtcgtg	900
gtagatgtct	ctcatgaaga	tccagaggtg	aaatttaact	ggtatgtaga	cggcgtggag	960
gtgcacaatg	ccaaaaccaa	gcctcgagaa	gaacagtaca	atagtacata	ccgagtggtt	1020
tctgttttga	ccgtgcttca	ccaggactgg	ctgaacggaa	aggaatacaa	atgcaaggtc	1080
tcaaacaagg	cattgccagc	ccccatcgaa	aagacaattt	ctaaagccaa	aggacagccc	1140
agagagcctc	aggtgtatac	cctcccacca	tcacgagacg	aactcacaaa	aaaccaggtt	1200
tccctcacct	gtctggtgaa	ggggttttac	ccatctgata	tcgccgtcga	atgggagtct	1260
aacggacagc	ctgagaataa	ttataagaca	actccacctg	tcctggacag	tgatggatct	1320
ttctttctgt	acagtaaact	gaccgtggat	aagtcacgct	ggcaacaagg	taatgtgttc	1380
agctgcagcg	tcatgcacga	ggctctgcat	aaccattata	cacagaagtc	actctctctg	1440
tccccaggta	aatgataaga	attcc				1465

<210> 10

<211> 458

<212> PRT

<213> homo sapiens

<400> 10

10

Ser Glu His Glu Thr Arg Leu Val Ala Lys Leu Phe Lys Asp Tyr Ser 1 5 10 10 15

Ser Val Val Arg Pro Val Glu Asp His Arg Gln Val Val Glu Val Thr 20 25 30

Val Gly Leu Gln Leu Ile Gln Leu Ile Asn Val Asp Glu Val Asn Gln 35 40 40

Ile Val Thr Thr Asn Val Arg Leu Lys Gln Gln Trp Val Asp Tyr Asn 50 55 60

Leu Lys Trp Asn Pro Asp Asp Tyr Gly Gly Val Lys Lys Ile His Ile 65 70 75 80

Pro Ser Glu Lys Ile Trp Arg Pro Asp Leu Val Leu Tyr Asn Asn Ala 85 90 95

Asp	Gly	Asp	Phe 100	Ala	Ile	Val	Lys	Phe 105	Thr	Lys	Val	Leu	Leu 110	Gln	Tyr
Thr	Gly	His 115	Ile	Thr	Trp	Thr	Pro 120	Pro	Ala	Ile	Phe	Lys 125	Ser	Tyr	Cys
Glu	Ile 130	Ile	Val	Thr	His	Phe 135	Pro	Phe	Asp	Glu	Gln 140	Asn	Cys	Ser	Met
Lys 145	Leu	Gly	Thr	Trp	Thr 150	Tyr	Asp	Gly	Ser	Val 155	Val	Ala	Ile	Asn	Pro 160
Glu	Ser	Asp	Gln	Pro 165	Asp	Leu	Ser	Asn	Phe 170	Met	Glu	Ser	Gly	Glu 175	Trp
Val	Ile	Lys	Glu 180	Ser	Arg	Gly	Trp	Lys 185	His	Ser	Val	Thr	Tyr 190	Ser	Cys
Суѕ	Pro	<b>Asp</b> 195	Thr	Pro	Tyr	Leu	Asp 200	Ile	Thr	Tyr	His	Phe 205	Val	Met	Gln
Arg	Leu 210	Pro	Gly	Gly	Gly	Gly 215	Ser	Gly	Gly	Gly	Gly 220	Ser	Gly	Gly	Gly
Gly 225	Ser	Glu	Pro	Lys	Ser 230	Cys	Asp	Lys	Thr	His 235	Thr	Cys	Pro	Pro	Cys 240
Pro	Ala	Pro	Glu	Leu 245	Leu	Gly	Gly	Pro	Ser 250	Val	Phe	Leu	Phe	Pro 255	Pro
Lys	Pro	Lys	Asp 260	Thr	Leu	Met	Ile	Ser 265	Arg	Thr	Pro	Glu	Val 270	Thr	Cys
Val	Val	Val 275	Asp	Val	Ser	His	Glu 280	Asp	Pro	Glu	Val	Lys 285	Phe	Asn	Trp
Tyr	Val 290	Asp	Gly	Val	Glu	Val 295	His	Asn	Ala	Lys	Thr 300	Lys	Pro	Arg	Glu
Glu 305	Gln	Tyr	Asn	Ser	Thr 310	Tyr	Arg	Val	Val	Ser 315	Val	Leu	Thr	Val	Leu 320
His	Gln	Asp	Trp	Leu 325	Asn	Gly	Lys	Glu	<b>Tyr</b> 330	Lys	Cys	Lys	Val	Ser 335	Asn
Lys	Ala	Leu	Pro	Ala	Pro	Ile	Glu	Lys	Thr	Ile	Ser	Lys	Ala	Lys	Gly

			340					345					350		
Gln	Pro	<b>Arg</b> 355	Glu	Pro	Gln	Val	Tyr 360	Thr	Leu	Pro	Pro	Ser 365	Arg	Asp	Glu
Leu	Thr 370	Lys	Asn	Gln	Val	Ser 375	Leu	Thr	Cys	Leu	Val 380	Lys	Gly	Phe	Tyr
Pro 385	Ser	Asp	Ile	Ala	Val 390	Glu	Trp	Glu	Ser	Asn 395	Gly	Gln	Pro	Glu	Asn 400
Asn	Tyr	Lys	Thr	Thr 405	Pro	Pro	Val	Leu	Asp 410	Ser	Asp	Gly	Ser	Phe 415	Phe
Leu	Tyr	Ser	Lys 420	Leu	Thr	Val	Asp	Lys 425	Ser	Arg	Trp	Gln	Gln 430	Gly	Asn
Val	Phe	Ser 435	Cys	Ser	Val	Met	His 440	Glu	Ala	Leu	His	Asn 445	His	Tyr	Thr
Gln	Lys 450	Ser	Leu	Ser	Leu	Ser 455	Pro	Gly	Lys						
<210 <211 <212 <213	> 330 > PR	Т	piens	<b>3</b>											
<400	> 11														
Ala 1	Ser	Thr	Lys	Gly 5	Pro	Ser	Val	Phe	Pro 10	Leu	Ala	Pro	Ser	Ser 15	Lys
Ser	Thr	Ser	Gly 20	Gly	Thr	Ala	Ala	Leu 25	Gly	Cys	Leu	Val	Lys 30	Asp	Tyr
Phe	Pro	Glu 35	Pro	Val	Thr	Val	Ser 40	Trp	Asn	Ser	Gly	Ala 45	Leu	Thr	Ser
Gly	Val 50	His	Thr	Phe	Pro	Ala 55	Val	Leu	Gln	Ser	Ser 60	Gly	Leu	Tyr	Ser
Leu 65	Ser	Ser	Val	Val	Thr 70	Val	Pro	Ser	Ser	Ser 75	Leu	Gly	Thr	Gln	Thr 80
Tyr	Ile	Cys	Asn	Val 85	Asn	His	Lys	Pro	Ser 90	Asn	Thr	Lys	Val	Asp 95	Lys
Lys	Val	Glu	Pro	Lys	Ser	Cys	Asp	Lys	Thr	His	Thr	Cys	Pro	Pro	Cys

			100					105					110		
Pro	Ala	Pro 115	Glu	Leu	Leu	Gly	Gly 120	Pro	Ser	Val	Phe	Leu 125	Phe	Pro	Pro
Lys	Pro 130	Lys	Asp	Thr	Leu	Met 135	Ile	Ser	Arg	Thr	Pro 140	Glu	Val	Thr	Cys
Val 145	Val	Val	Asp	Val	Ser 150	His	Glu	Asp	Pro	Glu 155	Val	Lys	Phe	Asn	Trp 160
Tyr	Val	Asp	Gly	Val 165	Glu	Val	His	Asn	<b>A</b> la 170	Lys	Thr	Lys	Pro	Arg 175	Glu
Glu	Gln	Tyr	Asn 180	Ser	Thr	Tyr	Arg	Val 185	Val	Ser	Val	Leu	Thr 190	Val	Leu
His	Gln	Asp 195	Trp	Leu	Asn	Gly	Lys 200	Glu	Tyr	Lys	Cys	Lys 205	Val	Ser	Asn
Lys	Ala 210	Leu	Pro	Ala	Pro	Ile 215	Glu	Lys	Thr	Ile	Ser 220	Lys	Ala	Lys	Gly
Gln 225	Pro	Arg	Glu	Pro	Gln 230	Val	Tyr	Thr	Leu	Pro 235	Pro	Ser	Arg	Asp	Glu 240
Leu	Thr	Lys	Asn	Gln 245	Val	Ser	Leu	Thr	Cys 250	Leu	Val	Lys	Gly	Phe 255	Tyr
Pro	Ser	Asp	Ile 260	Ala	Val	Glu	Trp	Glu 265	Ser	Asn	Gly	Gln	Pro 270	Glu	Asn
Asn	Tyr	Lys 275	Thr	Thr	Pro	Pro	Val 280	Leu	Asp	Ser	Asp	Gly 285	Ser	Phe	Phe
Leu	Tyr 290	Ser	Lys	Leu	Thr	Val 295	Asp	Lys	Ser	Arg	Trp 300	Gln	Gln	Gly	Asn
<b>Val</b> 305	Phe	Ser	Cys	Ser	Val 310	Met	His	Glu	Ala	Leu 315	His	Asn	His	Tyr	Thr 320
Gln	Lys	Ser	Leu	Ser 325	Leu	Ser	Pro	Gly	Lys 330						
	> 12 > 33( > PR														
	> hor		piens	3											
<400	> 12														

Ala 1	Ser	Thr	Lys	Gly 5	Pro	Ser	Val	Phe	Pro 10	Leu	Ala	Pro	Ser	Ser 15	Lys
Ser	Thr	Ser	Gly 20	Gly	Thr	Ala	Ala	Leu 25	Gly	Cys	Leu	Val	Lys 30	Asp	Tyr
Phe	Pro	Glu 35	Pro	Val	Thr	Val	Ser 40	Trp	Asn	Ser	Gly	Ala 45	Leu	Thr	Ser
Gly	Val 50	His	Thr	Phe	Pro	Ala 55	Val	Leu	Gln	Ser	Ser 60	Gly	Leu	Tyr	Ser
Leu 65	Ser	Ser	Val	Val	Thr 70	Val	Pro	Ser	Ser	Ser 75	Leu	Gly	Thr	Gln	Thr 80
Tyr	Ile	Cys	Asn	Val 85	Asn	His	Lys	Pro	Ser 90	Asn	Thr	Lys	Val	Asp 95	Lys
Arg	Val	Glu	Pro 100	Lys	Ser	Cys	Asp	Lys 105	Thr	His	Thr	Cys	Pro 110	Pro	Cys
Pro	Ala	Pro 115	Glu	Leu	Leu	Gly	Gly 120	Pro	Ser	Val	Phe	Leu 125	Phe	Pro	Pro
Lys	Pro 130	Lys	Asp	Thr	Leu	Met 135	Ile	Ser	Arg	Thr	Pro 140	Glu	Val	Thr	Cys
Val 145	Val	Val	Asp	Val	Ser 150	His	Glu	Asp	Pro	Glu 155	Val	Lys	Phe	Asn	Trp 160
Tyr	Val	Asp	Gly	Val 165	Glu	Val	His	Asn	Ala 170	Lys	Thr	Lys	Pro	Arg 175	Glu
Glu	Gln	Tyr	Asn 180	Ser	Thr	Tyr	Arg	Val 185	Val	Ser	Val	Leu	Thr 190	Val	Leu
His	Gln	<b>Asp</b> 195	Trp	Leu	Asn	Gly	Lys 200	Glu	Tyr	Lys	Cys	Lys 205	Val	Ser	Asn
Lys	Ala 210	Leu	Pro	Ala	Pro	Ile 215	Glu	Lys	Thr	Ile	Ser 220	Lys	Ala	Lys	Gly
Gln 225	Pro	Arg	Glu	Pro	Gln 230	Val	Tyr	Thr	Leu	Pro 235	Pro	Ser	Arg	Glu	Glu 240

Met	Thr	Lys	Asn	Gln 245	Val	Ser	Leu	Thr	Cys 250	Leu	Val	Lys	Gly	Phe 255	Tyr
Pro	Ser	Asp	Ile 260	Ala	Val	Glu	Trp	Glu 265	Ser	Asn	Gly	Gln	Pro 270	Glu	Asn
Asn	Tyr	<b>Lys</b> 275	Thr	Thr	Pro	Pro	Val 280	Leu	Asp	Ser	Asp	Gly 285	Ser	Phe	Phe
Leu	Tyr 290	Ser	Lys	Leu	Thr	Val 295	Asp	Lys	Ser	Arg	Trp 300	Gln	Gln	Gly	Asn
Val 305	Phe	Ser	Cys	Ser	Val 310	Met	His	Glu	Ala	Leu 315	His	Asn	His	Tyr	Thr 320
Gln	Lys	Ser	Leu	Ser 325	Leu	Ser	Pro	Gly	<b>Lys</b> 330						
<212	> 437 > PR	Т	piens	3											
<400	> 13														
Ser 1	Glu	His	Glu	Thr 5	Arg	Leu	Val	Ala	Lys 10	Leu	Phe	Lys	Asp	Tyr 15	Ser
Ser	Val	Val	Arg 20	Pro	Val	Glu	Asp	His 25	Arg	Gln	Val	Val	Glu 30	Val	Thr
Val	Gly	Leu 35	Gln	Leu	Ile	Gln	Leu 40	Ile	Asn	Val	Asp	Glu 45	Val	Asn	Gln
Ile	Val 50	Thr	Thr	Asn	Val	Arg 55	Leu	Lys	Gln	Gln	Trp 60	Val	Asp	Tyr	Asn
Leu 65	Lys	Trp	Asn	Pro	Asp 70	Asp	Tyr	Gly	Gly	Val 75	Lys	Lys	Ile	His	Ile 80
Pro	Ser	Glu	Lys	Ile 85	Trp	Arg	Pro	Asp	Leu 90	Val	Leu	Tyr	Asn	Asn 95	Ala
Asp	Gly	Asp	Phe 100	Ala	Ile	Val	Lys	Phe 105	Thr	Lys	Val	Leu	Leu 110	Gln	Tyr
Thr	Gly	His 115	Ile	Thr	Trp	Thr	Pro 120	Pro	Ala	Ile	Phe	Lys 125	Ser	Tyr	Cys

Glu	Ile 130	Ile	Val	Thr	His	Phe 135	Pro	Phe	Asp	Glu	Gln 140	Asn	Cys	Ser	Met
Lys 145	Leu	Gly	Thr	Trp	Thr 150	Tyr	Asp	Gly	Ser	Val 155	Val	Ala	Ile	Asn	Pro 160
Glu	Ser	Asp	Gln	Pro 165	Asp	Leu	Ser	Asn	Phe 170	Met	Glu	Ser	Gly	Glu 175	Trp
Val	Ile	Lys	Glu 180	Ser	Arg	Gly	Trp	Lys 185	His	Ser	Val	Thr	Туг 190	Ser	Cys
Cys	Pro	Asp 195	Thr	Pro	Tyr	Leu	Asp 200	Ile	Thr	Tyr	His	Phe 205	Val	Met	Gln
Arg	Leu 210	Pro	Leu	Tyr	Phe	Ile 215	Val	Asn	Val	Ile	Ile 220	Pro	Cys	Leu	Leu
Phe 225	Ser	Phe	Leu	Thr	Gly 230	Leu	Val	Phe	Tyr	Leu 235	Pro	Thr	Asp	Ser	Gly 240
Glu	Lys	Met	Thr	Leu 245	Ser	Ile	Ser	Val	Leu 250	Leu	Ser	Leu	Thr	Val 255	Phe
Leu	Leu	Val	Ile 260	Val	Glu	Leu	Ile	Pro 265	Ser	Thr	Ser	Ser	Ala 270	Val	Pro
Leu	Ile	Gly 275	Lys	Tyr	Met	Leu	Phe 280	Thr	Met	Val	Phe	Val 285	Ile	Ala	Ser
Ile	Ile 290	Ile	Thr	Val	Ile	Val 295	Ile	Asn	Thr	His	His 300	Arg	Ser	Pro	Ser
Thr 305	His	Val	Met	Pro	Asn 310	Trp	Val	Arg	Lys	Val 315	Phe	Ile	Asp	Thr	Ile 320
Pro	Asn	Ile	Met	Phe 325	Phe	Ser	Thr	Met	Lys 330	Arg	Pro	Ser	Arg	Glu 335	Lys
Gln	Asp	Lys	Lys 340	Ile	Phe	Thr	Glu	Asp 345	Ile	Asp	Ile	Ser	Asp 350	Ile	Ser
Gly	Lys	Pro 355	Gly	Pro	Pro	Pro	Met 360	Gly	Phe	His	Ser	Pro 365	Leu	Ile	Lys
His	Pro 370	Glu	Val	Lys	Ser	Ala 375	Ile	Glu	Gly	Ile	Lys 380	Tyr	Ile	Ala	Glu

Thr Met Lys Ser Asp Gln Glu Ser Asn Asn Ala Ala Ala Glu Trp Lys 385

	Tyr	Val	Ala	Met	Val 405	Met	Asp	His	Ile	Leu 410	Leu	Gly	Val	Phe	Met 415	Leu
	Val	Cys	Ile	Ile 420	Gly	Thr	Leu	Ala	Val 425	Phe	Ala	Gly	Arg	Leu <b>4</b> 30	Ile	Glu
	Leu	Asn	Gln 435	Gln	Gly											
5	<212	> 462 > PR		piens	S											
	<400	> 14														
	Ser 1	Glu	His	Glu	Thr 5	Arg	Leu	Val	Ala	Lys 10	Leu	Phe	Lys	Asp	Tyr 15	Ser
	Ser	Val	Val	Arg 20	Pro	Val	Glu	Asp	His 25	Arg	Gln	Val	Val	Glu 30	Val	Thr
	Val	Gly	Leu 35	Gln	Leu	Ile	Gln	Leu 40	Ile	Asn	Val	Asp	Glu 45	Val	Asn	Gln
	Ile	Val 50	Thr	Thr	Asn	Val	Arg 55	Leu	Lys	Gln	Gly	Asp 60	Met	Val	Asp	Leu
	Pro 65	Arg	Pro	Ser	Cys	Val 70	Thr	Leu	Gly	Val	Pro 75	Leu	Phe	Ser	His	Leu 80
	Gln	Asn	Glu	Gln	Trp 85	Val	Asp	Tyr	Asn	Leu 90	Lys	Trp	Asn	Pro	Asp 95	Asp
	Tyr	Gly	Gly	Val 100	Lys	Lys	Ile	His	Ile 105	Pro	Ser	Glu	Lys	Ile 110	Trp	Arg
	Pro	Asp	<b>Leu</b> 115	Val	Leu	Tyr	Asn	Asn 120	Ala	Asp	Gly	Asp	Phe 125	Ala	Ile	Val
	Lys	Phe 130	Thr	Lys	Val	Leu	Leu 135	Gln	Tyr	Thr	Gly	His 140	Ile	Thr	Trp	Thr
10	Pro 145	Pro	Ala	Ile	Phe	Lys 150	Ser	Tyr	Cys	Glu	Ile 155	Ile	Val	Thr	His	Phe 160

Pro	Phe	Asp	Glu	Gln 165	Asn	Cys	Ser	Met	Lys 170	Leu	Gly	Thr	Trp	Thr 175	Tyr
Asp	Gly	Ser	Val 180	Val	Ala	Ile	Asn	Pro 185	Glu	Ser	Asp	Gln	Pro 190	Asp	Leu
Ser	Asn	Phe 195	Met	Glu	Ser	Gly	Glu 200	Trp	Val	Ile	Lys	Glu 205	Ser	Arg	Gly
Trp	Lys 210	His	Ser	Val	Thr	Tyr 215	Ser	Cys	Cys	Pro	<b>As</b> p 220	Thr	Pro	Tyr	Leu
<b>Asp</b> 225	Ile	Thr	Tyr	His	Phe 230	Val	Met	Gln	Arg	Leu 235	Pro	Leu	Tyr	Phe	Ile 240
Val	Asn	Val	Ile	Ile 245	Pro	Cys	Leu	Leu	Phe 250	Ser	Phe	Leu	Thr	Gly 255	Leu
Val	Phe	Tyr	Leu 260	Pro	Thr	Asp	Ser	Gly 265	Glu	Lys	Met	Thr	Leu 270	Ser	Ile
Ser	Val	Leu 275	Leu	Ser	Leu	Thr	Val 280	Phe	Leu	Leu	Val	Ile 285	Val	Glu	Leu
Ile	Pro 290	Ser	Thr	Ser	Ser	Ala 295	Val	Pro	Leu	Ile	Gly 300	Lys	Tyr	Met	Leu
Phe 305	Thr	Met	Val	Phe	Val 310	Ile	Ala	Ser	Ile	Ile 315	Ile	Thr	Val	Ile	Val 320
Ile	Asn	Thr	His	His 325	Arg	Ser	Pro	Ser	Thr 330	His	Val	Met	Pro	<b>As</b> n 335	Trp
Val	Arg	Lys	Val 340	Phe	Ile	Asp	Thr	Ile 345	Pro	Asn	Ile	Met	Phe 350	Phe	Ser
Thr	Met	<b>Lys</b> 355	Arg	Pro	Ser	Arg	Glu 360	Lys	Gln	Asp	Lys	<b>Lys</b> 365	Ile	Phe	Thr
Glu	<b>Asp</b> 370	Ile	Asp	Ile	Ser	<b>Asp</b> 375	Ile	Ser	Gly	Lys	Pro 380	Gly	Pro	Pro	Pro
<b>Met</b> 385	Gly	Phe	His	Ser	Pro 390	Leu	Ile	Lys	His	Pro 395	Glu	Val	Lys	Ser	Ala 400
Ile	Glu	Gly	Ile	Lys 405	Tyr	Ile	Ala	Glu	Thr 410	Met	Lys	Ser	Asp	Gln 415	Glu
Ser	Asn	Asn	Ala 420	Ala	Ala	Glu	. Trp	425	_	r Va	l Al	a Me	t Va 43		t Ası
His	Ile	Leu 435	Leu	Gly	Val	Phe	Met		ı Val	l Cy	s Il	e Il 44		y Th	r Le

Ala Val Phe Ala Gly Arg Leu Ile Glu Leu Asn Gln Gln Gly 450  $\phantom{\bigg|}$ 

<212	> 457 > 457 > PR > hor	Т	piens	3											
<400	> 15														
Ser 1	Glu	His	Glu	Thr 5	Arg	Leu	Val	Ala	Lys 10	Leu	Phe	Lys	Asp	Tyr 15	Ser
Ser	Val	Val	Arg 20	Pro	Val	Glu	Asp	His 25	Arg	Gln	Val	Val	Glu 30	Val	Thr
Val	Gly	Leu 35	Gln	Leu	Ile	Gln	Leu 40	Ile	Asn	Val	Asp	Glu 45	Val	Asn	Gln
Ile	Val 50	Thr	Thr	Asn	Val	Arg 55	Leu	Lys	Gln	Gln	Trp 60	Val	Asp	Tyr	Asn
Leu 65	Lys	Trp	Asn	Pro	Asp 70	Asp	Tyr	Gly	Gly	Val 75	Lys	Lys	Ile	His	Ile 80
Pro	Ser	Glu	Lys	Ile 85	Trp	Arg	Pro	Asp	Leu 90	Val	Leu	Tyr	Asn	Asn 95	Ala
Asp	Gly	Asp	Phe 100	Ala	Ile	Val	Lys	Phe 105	Thr	Lys	Val	Leu	Leu 110	Gln	Tyr
Thr	Gly	His 115	Ile	Thr	Trp	Thr	Pro 120	Pro	Ala	Ile	Phe	Lys 125	Ser	Tyr	Cys
Glu	Ile 130	Ile	Val	Thr	His	Phe 135	Pro	Phe	Asp	Glu	Gln 140	Asn	Cys	Ser	Met
Lys 145	Leu	Gly	Thr	Trp	Thr 150	Tyr	Asp	Gly	Ser	Val 155	Val	Ala	Ile	Asn	Pro 160
Glu	Ser	Asp	Gln	Pro 165	Asp	Leu	Ser	Asn	Phe 170	Met	Glu	Ser	Gly	Glu 175	Trp

Val	Ile	Lys	Glu 180	Ser	Arg	Gly	Trp	Lys 185	His	Ser	Val	Thr	Tyr 190	Ser	Cys
Суз	Pro	Asp 195	Thr	Pro	Tyr	Leu	Asp 200	Ile	Thr	Tyr	His	Phe 205	Val	Met	Gln
Arg	Leu 210	Gly	Gly	Gly	Gly	Ser 215	Gly	Gly	Gly	Gly	Ser 220	Gly	Gly	Gly	Gly
Ser 225	Glu	Pro	Lys	Ser	Cys 230	Asp	Lys	Thr	His	Thr 235	Cys	Pro	Pro	Cys	Pro 240
Ala	Pro	Glu	Leu	Leu 245	Gly	Gly	Pro	Ser	Val 250	Phe	Leu	Phe	Pro	Pro 255	Lys
Pro	Lys	Asp	Thr 260	Leu	Met	Ile	Ser	Arg 265	Thr	Pro	Glu	Val	Thr 270	Cys	Val
Val	Val	<b>Asp</b> 275	Val	Ser	His	Glu	<b>Asp</b> 280	Pro	Glu	Val	Lys	Phe 285	Asn	Trp	Tyr
Val	Asp 290	Gly	Val	Glu	Val	His 295	Asn	Ala	Lys	Thr	<b>Lys</b> 300	Pro	Arg	Glu	Glu
Gln 305	Tyr	Asn	Ser	Thr	Tyr 310	Arg	Val	Val	Ser	Val 315	Leu	Thr	Val	Leu	His 320
Gln	Asp	Trp	Leu	<b>As</b> n 325	Gly	Lys	Glu	Tyr	<b>Lys</b> 330	Суз	Lys	Val	Ser	<b>Asn</b> 335	Lys
Ala	Leu	Pro	Ala 340	Pro	Ile	Glu	Lys	Thr 345	Ile	Ser	Lys	Ala	<b>Lys</b> 350	Gly	Gln
Pro	Arg	G1u 355	Pro	Gln	Val	Tyr	Thr 360	Leu	Pro	Pro	Ser	<b>Arg</b> 365	Asp	Glu	Leu
Thr	<b>Lys</b> 370	Asn	Gln	Val	Ser	Leu 375	Thr	Cys	Leu	Val	<b>Lys</b> 380	Gly	Phe	Tyr	Pro
Ser 385	Asp	Ile	Ala	Val	Glu 390	Trp	Glu	Ser	Asn	Gly 395	Gln	Pro	Glu	Asn	Asn 400
Tyr	Lys	Thr	Thr	Pro 405	Pro	Val	Leu	Asp	Ser 410	Asp	Gly	Ser	Phe	Phe 415	Leu
Tyr	Ser	Lys	Leu 420	Thr	Val	Asp	Lys	Ser	_	Trp	Gln	Gln	Gly 43		Val
Phe	Ser	Cvs	Ser	Val	Met	His	G1 11	Δla	T. <del>.</del>	ı His	2 <b>A</b> 21	n Hi	ፍ ጥህ	<b>ኮ</b> ሞከ	r Gln
	<b></b>	435	261	• 44	1160		440				- 4101	44.			_ 0111
Lys	Ser 450	Leu	Ser	Leu	Ser	Pro 455	Gly	Lys	1						

	<210> 16 <211> 78 <212> ADN <213> cebado	or					
5	<400> 16						
	gctcttaggc	tccgatccgc	caccgccaga	gccacctccg	cctgaaccgc	ctccacccag	60
	ccgttgcatg	acgaagtg					78
10	<210> 17 <211> 79 <212> ADN <213> cebado	or					
15	<400> 17						
	caacggctgg	gtggaggcgg	ttcaggcgga	ggtggctctg	gcggtggcgg	atcggagcct	60
	aagagctgcg	ataaaacac					79
20	<210> 18 <211> 1462 <212> ADN <213> homo s	sapiens					
0.5	<400> 18						
25	cccaagcttg	ccgccaccat	ggagccatgg	cccctgctcc	ttcttttcag	cctgtgttca	60
	gctggcctcg	tgctgggcag	cgagcacgaa	accaggttgg	tcgctaaact	tttcaaagat	120
	tactcctcag	tagtgaggcc	tgtagaggat	catcggcagg	tggtggaggt	cactgtggga	180
	ctccagctca	tccagttgat	caatgtcgat	gaggtcaacc	aaatcgtcac	cactaatgtc	240
	cgactgaagc	agcagtgggt	cgactacaac	ctgaagtgga	atcccgatga	ctacggtggt	300
	gtgaaaaaaa	tacatattcc	cagtgagaag	atctggcgtc	cagatcttgt	tctgtacaac	360
	aacgctgatg	gagatttcgc	tatcgtcaag	ttcaccaaag	tgctgctgca	gtatacaggt	420
	catataactt	ggactccccc	agcaatcttt	aagagttact	gcgagatcat	agtgacccat	480
	tttccctttg	acgagcagaa	ttgttccatg	aagctgggca	cttggaccta	cgacgggtct	540
	gtcgtggcta	ttaatccaga	aagcgatcag	cccgatcttt	caaattttat	ggagtccggt	600
	gagtgggtga	tcaaagaatc	aagggggtgg	aaacattcag	tgacctactc	ttgctgtcct	660
	gatactccct	acctcgacat	tacctaccac	ttcgtcatgc	aacggctggg	tggaggcggt	720

tcaggcggag	gtggctctgg	cggtggcgga	tcggagccta	agagctgcga	taaaacacac	780
acatgccctc	cctgccccgc	tccagagctg	ttgggcggac	caagcgtttt	cctgttccca	840
ccaaagccca	aggacacttt	gatgatctct	cggactcctg	aagtgacatg	cgtcgtggta	900
gatgtctctc	atgaagatcc	agaggtgaaa	tttaactggt	atgtagacgg	cgtggaggtg	960
cacaatgcca	aaaccaagcc	tcgagaagaa	cagtacaata	gtacataccg	agtggtttct	1020
gttttgaccg	tgcttcacca	ggactggctg	aacggaaagg	aatacaaatg	caaggtctca	1080
aacaaggcat	tgccagcccc	catcgaaaag	acaatttcta	aagccaaagg	acagcccaga	1140
gagcctcagg	tgtataccct	cccaccatca	cgagacgaac	tcacaaaaaa	ccaggtttcc	1200
ctcacctgtc	tggtgaaggg	gttttaccca	tctgatatcg	ccgtcgaatg	ggagtctaac	1260
ggacagcctg	agaataatta	taagacaact	ccacctgtcc	tggacagtga	tggatctttc	1320
tttctgtaca	gtaaactgac	cgtggataag	tcacgctggc	aacaaggtaa	tgtgttcagc	1380
tgcagcgtca	tgcacgaggc	tctgcataac	cattatacac	agaagtcact	ctctctgtcc	1440
ccaggtaaat	gataagaatt	cc				1462

<210> 19 5

<211> 457

<212> PRT

<213> homo sapiens

<400> 19

10

Glu Pro Lys Ser Cys Asp Lys Thr His Thr Cys Pro Pro Cys Pro Ala 1  $\phantom{\bigg|}$  5  $\phantom{\bigg|}$  10  $\phantom{\bigg|}$  15

Pro Glu Leu Leu Gly Gly Pro Ser Val Phe Leu Phe Pro Pro Lys Pro

Lys Asp Thr Leu Met Ile Ser Arg Thr Pro Glu Val Thr Cys Val Val 35 40

Val Asp Val Ser His Glu Asp Pro Glu Val Lys Phe Asn Trp Tyr Val

 $\hbox{Asp Gly Val Glu Val His Asn Ala Lys Thr Lys Pro Arg Glu Glu Gln } \\$ 

Tyr Asn Ser Thr Tyr Arg Val Val Ser Val Leu Thr Val Leu His Gln

Asp Trp Leu Asn Gly Lys Glu Tyr Lys Cys Lys Val Ser Asn Lys Ala 100

Leu Pro Ala Pro Ile Glu Lys Thr Ile Ser Lys Ala Lys Gly Gln Pro

		115					120					125			
Arg	Glu 130	Pro	Gln	Val	Tyr	Thr 135	Leu	Pro	Pro	Ser	Arg 140	Asp	Glu	Leu	Thr
Lys 145	Asn	Gln	Val	Ser	<b>Leu</b> 150	Thr	Cys	Leu	Val	<b>Lys</b> 155	Gly	Phe	Tyr	Pro	Ser 160
Asp	Ile	Ala	Val	Glu 165	Trp	Glu	Ser	Asn	Gly 170	Gln	Pro	Glu	Asn	Asn 175	Tyr
Lys	Thr	Thr	Pro 180	Pro	Val	Leu	Asp	Ser 185	Asp	Gly	Ser	Phe	Phe 190	Leu	Tyr
Ser	Lys	Leu 195	Thr	Val	Asp	Lys	Ser 200	Arg	Trp	Gln	Gln	Gly 205	Asn	Val	Phe
Ser	Cys 210	Ser	Val	Met	His	Glu 215	Ala	Leu	His	Asn	His 220	Tyr	Thr	Gln	Lys
Ser 225	Leu	Ser	Leu	Ser	Pro 230	Gly	Lys	Gly	Gly	Gly 235	Gly	Ser	Gly	Gly	Gly 240
Gly	Ser	Gly	Gly	Gly 245	Gly	Ser	Ser	Glu	His 250	Glu	Thr	Arg	Leu	Val 255	Ala
Lys	Leu	Phe	Lys 260	Asp	Tyr	Ser	Ser	Val 265	Val	Arg	Pro	Val	Glu 270	Asp	His
Arg	Gln	Val 275	Val	Glu	Val	Thr	Val 280	Gly	Leu	Gln	Leu	Ile 285	Gln	Leu	Ile
Asn	Val 290	Asp	Glu	Val	Asn	Gln 295	Ile	Val	Thr	Thr	Asn 300	Val	Arg	Leu	Lys
Gln 305	Gln	Trp	Val	Asp	<b>Tyr</b> 310	Asn	Leu	Lys	Trp	<b>As</b> n 315	Pro	Asp	Asp	Tyr	Gly 320
Gly	Val	Lys	Lys	Ile 325	His	Ile	Pro	Ser	Glu 330	Lys	Ile	Trp	Arg	Pro 335	Asp
Leu	Val	Leu	Tyr 340	Asn	Asn	Ala	Asp	Gly 345	Asp	Phe	Ala	Ile	<b>Val</b> 350	Lys	Phe
Thr	Lys	Val 355	Leu	Leu	Gln	Tyr	Thr 360	Gly	His	Ile	Thr	Trp 365	Thr	Pro	Pro

Asp Glu Gln Asn Cys Ser Met Lys Leu Gly Thr Trp Thr Tyr Asp Gly 385  $390 \hspace{1.5cm} 390 \hspace{1.5cm} 395 \hspace{1.5cm} 700 \hspace{1.5cm} 400 \hspace{1.5cm} 700 \hspace{1.5cm}$ 

Ser Val Val Ala Ile Asn Pro Glu Ser Asp Gln Pro Asp Leu Ser Asn 405  $\phantom{\bigg|}410\phantom{\bigg|}$ 

Phe Met Glu Ser Gly Glu Trp Val Ile Lys Glu Ser Arg Gly Trp Lys 420 425 430

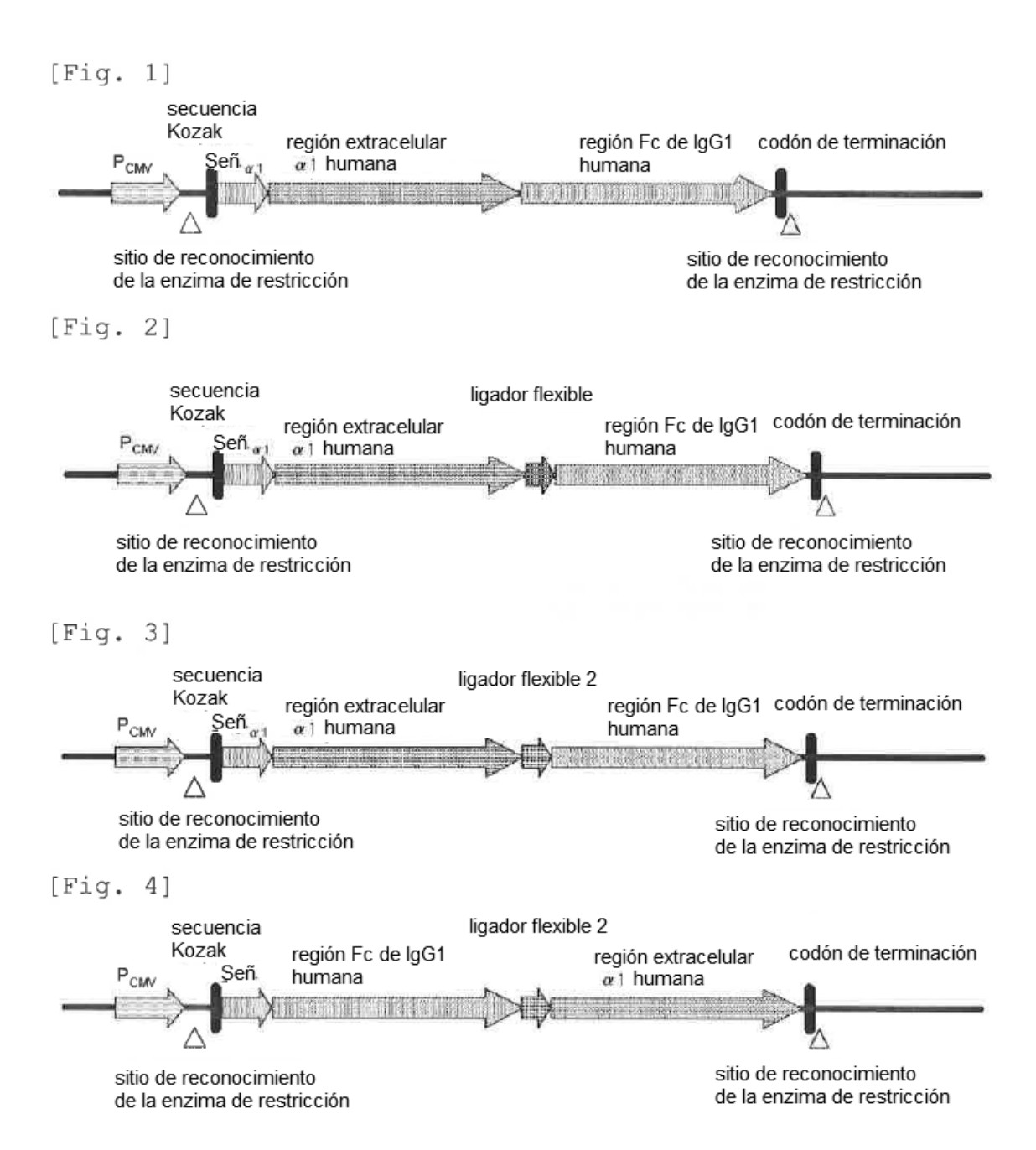
Thr Tyr His Phe Val Met Gln Arg Leu 450 455

#### **REIVINDICACIONES**

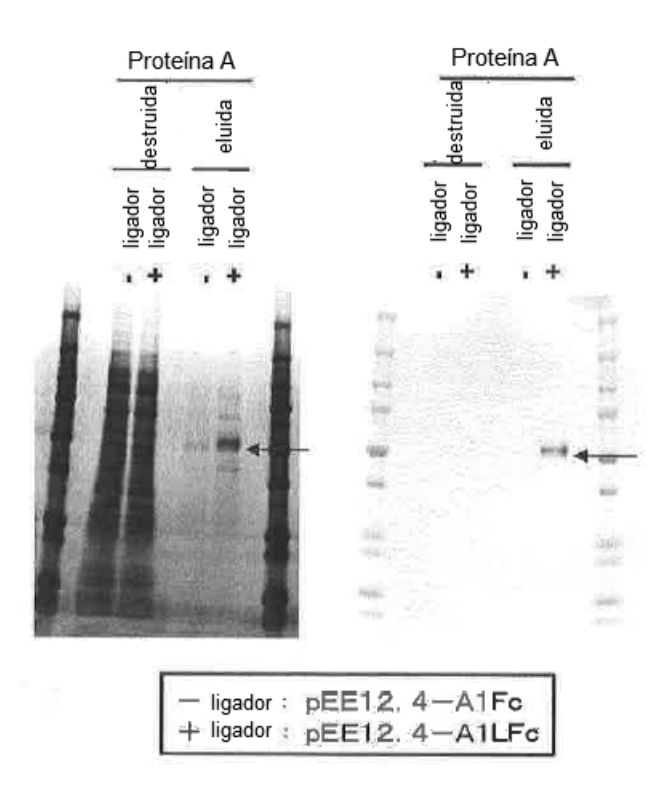
1. Una proteína de fusión caracterizada porque una proteína (X), que contiene un sitio reconocido por autoanticuerpos que son la causa de una enfermedad autoinmunitaria de tipo autoanticuerpo, está conectada con una proteína (A), que contiene un fragmento de la región constante de cadena pesada de anticuerpo que exhibe citotoxicidad celular dependiente de anticuerpo, y con un péptido ligador (L) consistente en uno o más aminoácidos, en la que la proteína (X), el péptido ligador (L) y la proteína (A) están conectados en este orden mediante un enlace peptídico de extremo N a extremo C,

y en la que la proteína de fusión consiste en la secuencia aminoacídica de SEQ ID Nº 10 o 15.

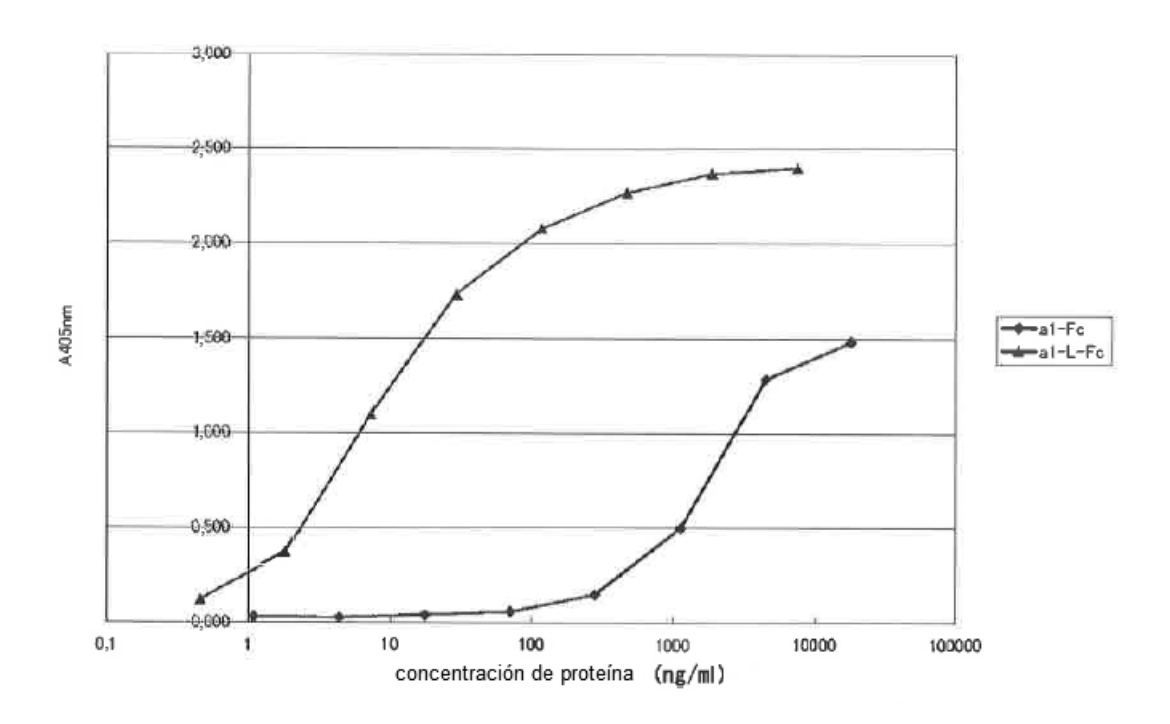
- 2. Un método para fabricar la proteína de fusión de la reivindicación 1, caracterizado porque el ADN que codifica la proteína de fusión de la reivindicación 1 se inserta en un vector de expresión celular y este vector se introduce en células hospedadoras para expresar la proteína de fusión.
  - 3. Una composición para uso en la prevención y el tratamiento de una enfermedad autoinmunitaria de tipo autoanticuerpo, caracterizada porque contiene la proteína de fusión de la reivindicación 1 como ingrediente eficaz.



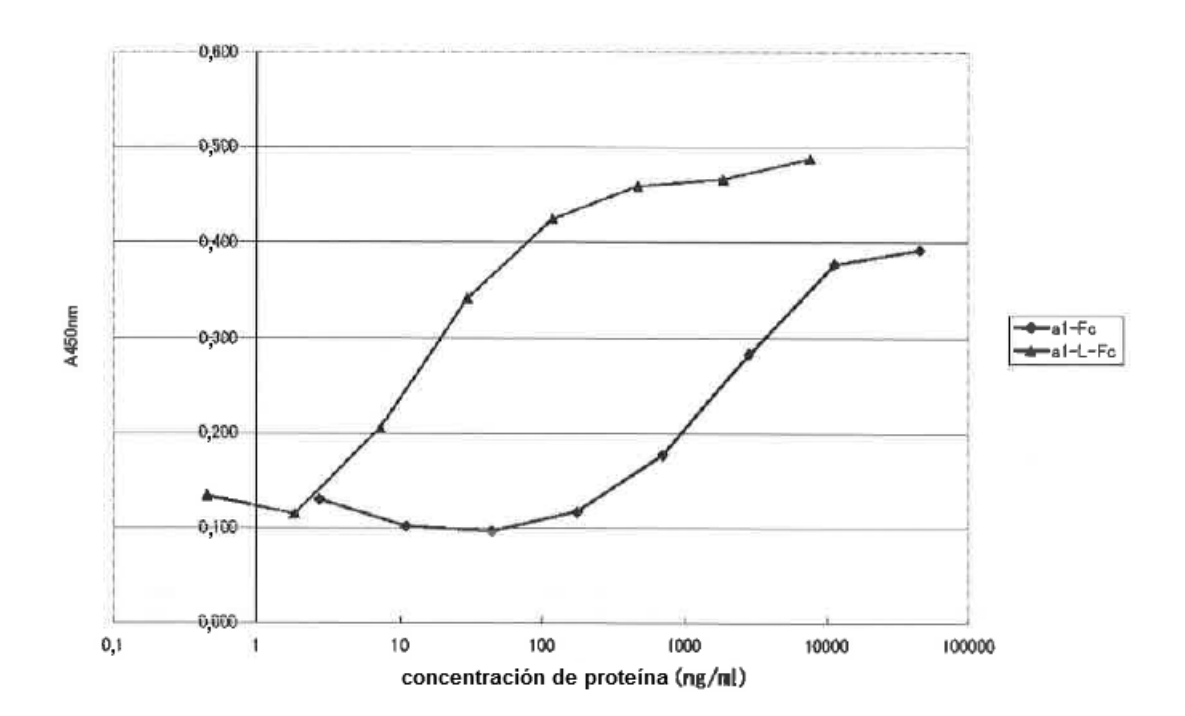
[Fig. 5]



[Fig. 6]

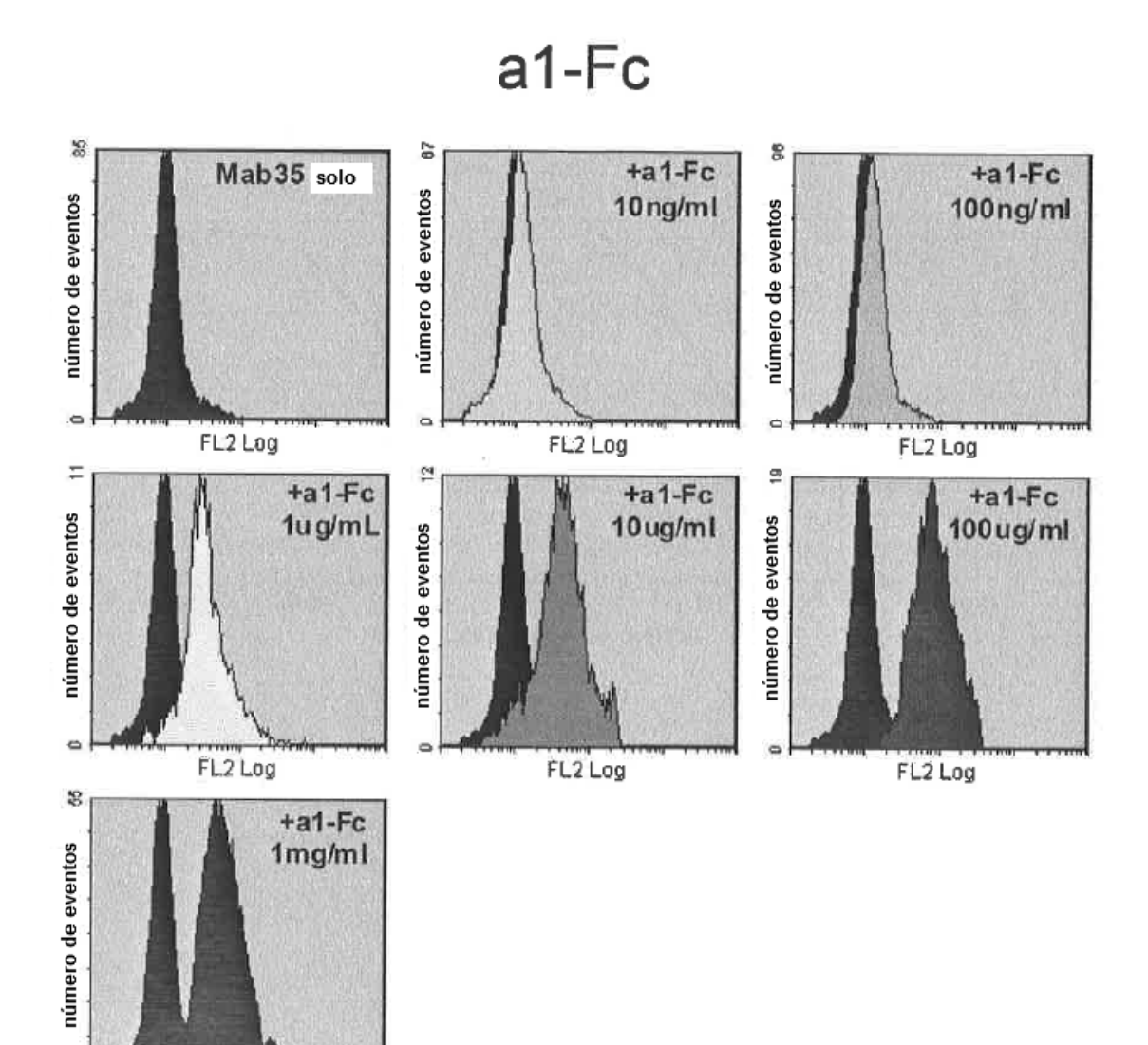


[Fig. 7]

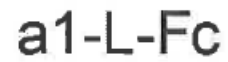


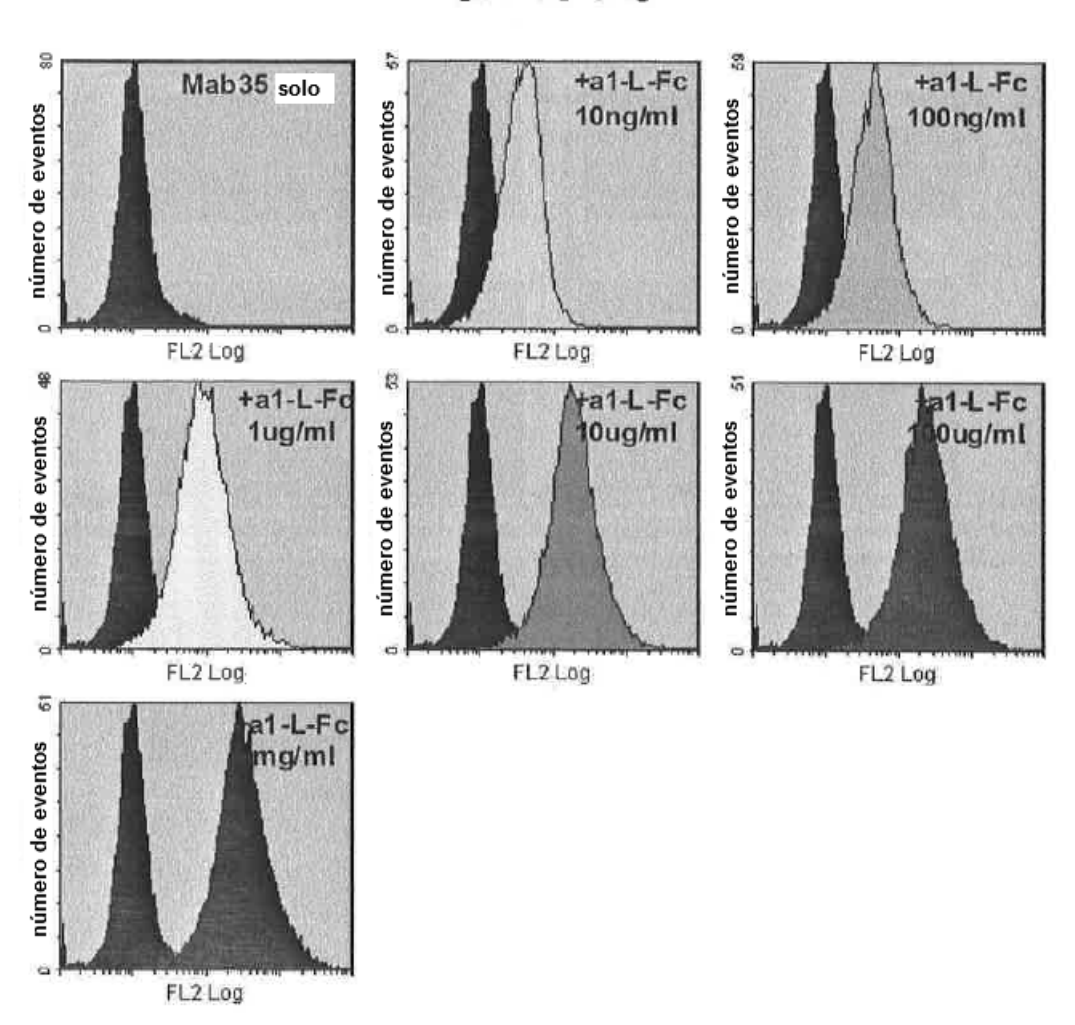
[Fig. 8A]

FL2 Log

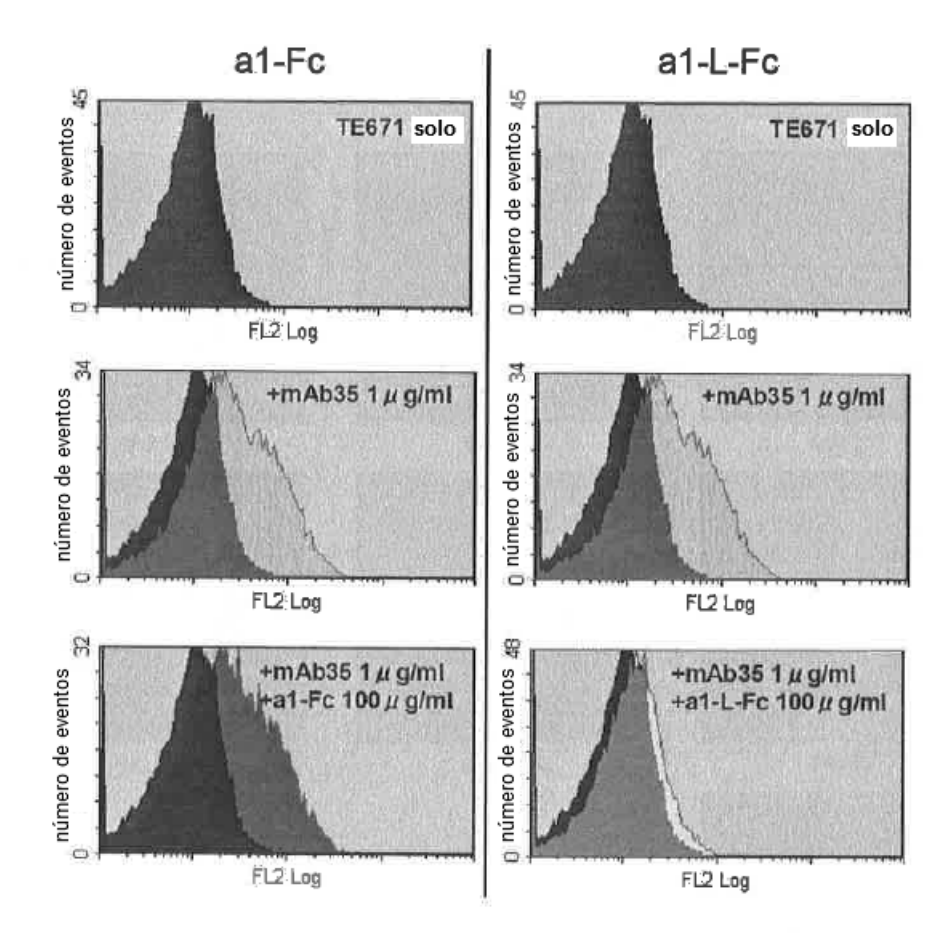


[Fig. 8B]





[Fig. 9]



[Fig. 10]

